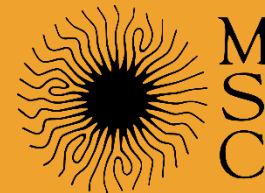


Alice Pelosse – Doctorante en physique au laboratoire Matière et Systèmes Complexes

ÉCOULEMENTS CAPILLAIRES DE SUSPENSIONS GRANULAIRES

23 août 2023 – Ecole des Gustins, Lac d'Aiguebelette



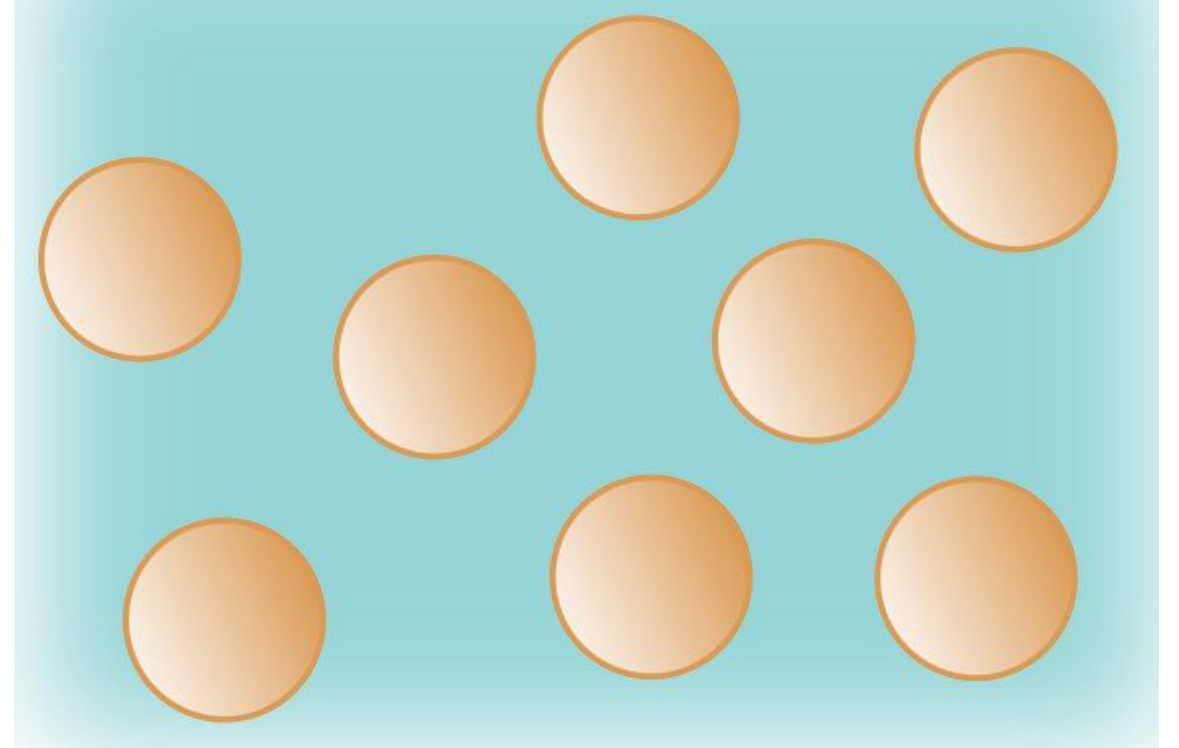
Écoulements capillaires



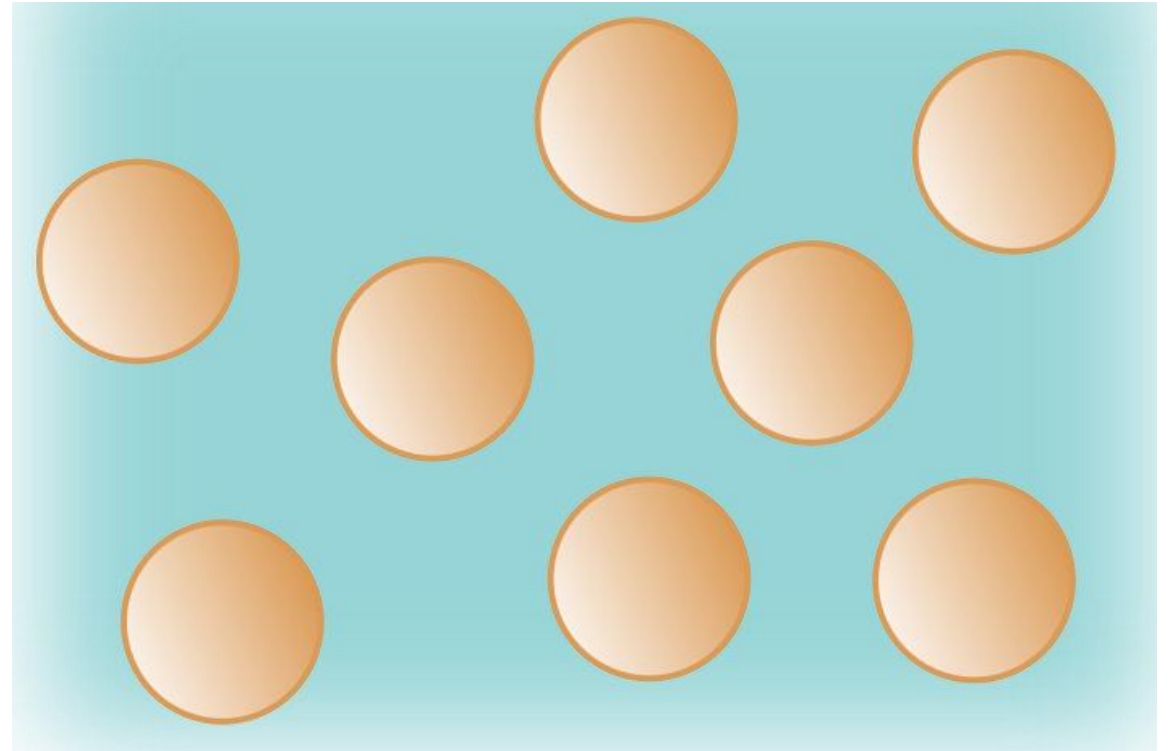
Écoulements capillaires



Suspensions granulaires



Suspensions granulaires



Plan

- Matière molle
- Notions de viscosité et rhéologie
- Viscosité de suspensions granulaires

- Etalement de gouttes de suspensions granulaires
- Quelques pré-résultats sur l'instabilité de Rayleigh-Taylor avec des suspensions granulaires

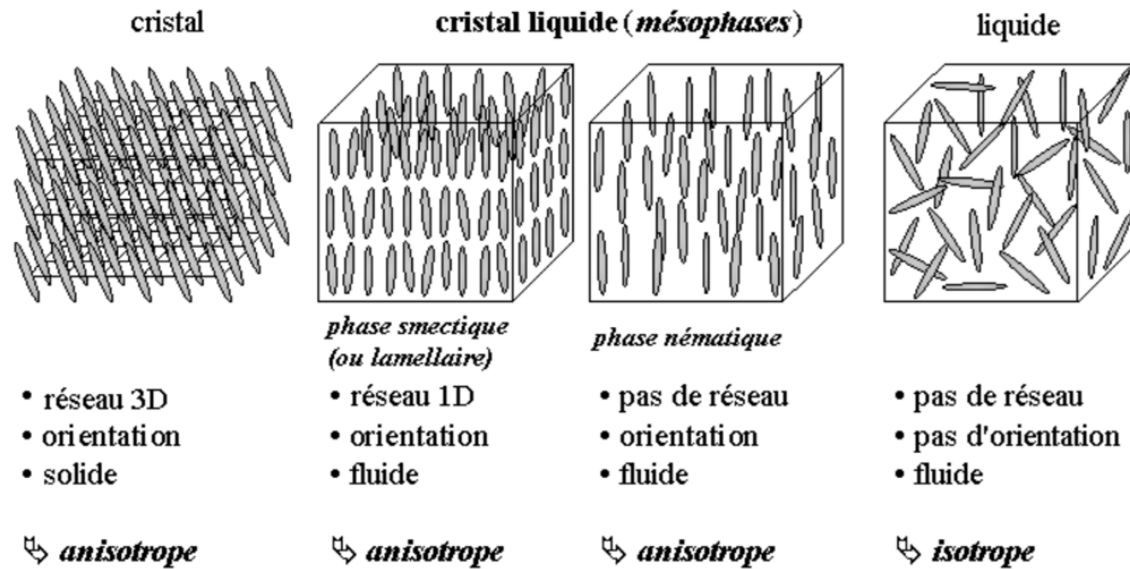
FLUIDES COMPLEXES ET MATIÈRE MOLLE

Pierre-Gilles de Gennes (1932 – 2007)



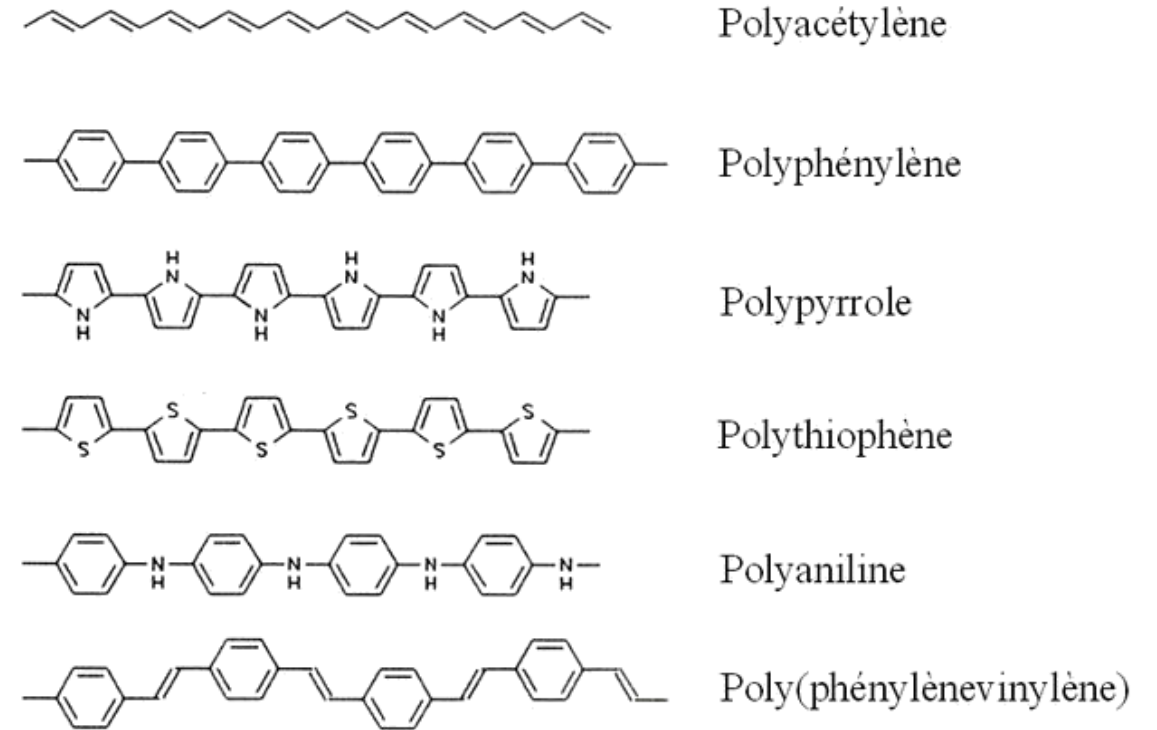
Cristaux liquides & polymères

Cristaux liquides



Arnaud Dessombz

Polymères



Akkouch Adil

Cristaux liquides & polymères

Cristaux liquides



Polymères

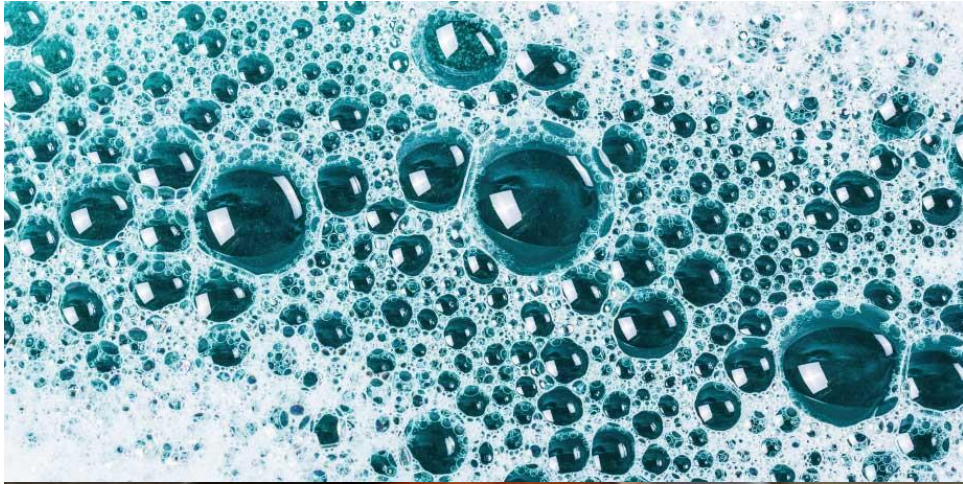


Mélanges biphasiques

Gaz dans un liquide

Liquide dans liquide

Mélanges biphasiques





Fourmis

nature materials

[Explore content](#) ▾ [About the journal](#) ▾ [Publish with us](#) ▾

[nature](#) > [nature materials](#) > [letters](#) > article

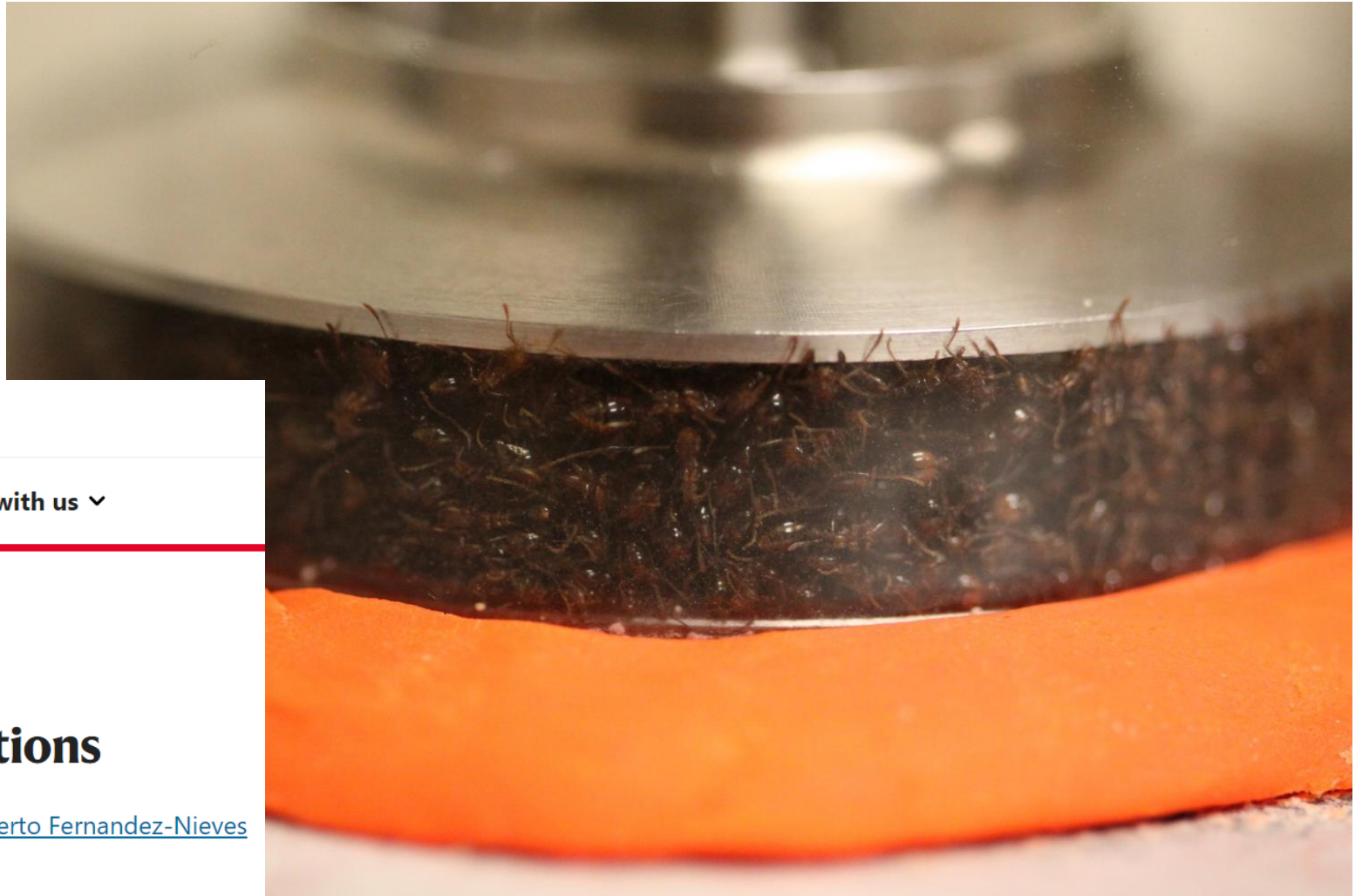
[Published: 26 October 2015](#)

Mechanics of fire ant aggregations

[Michael Tennenbaum](#), [Zhongyang Liu](#), [David Hu](#)  & [Alberto Fernandez-Nieves](#)

[Nature Materials](#) **15**, 54–59 (2016) | [Cite this article](#)

11k Accesses | **72** Citations | **328** Altmetric | [Metrics](#)





Les chats sont-ils liquides ?



Marc-Antoine Fardin est chercheur en rhéologie à l'Institut Jacques Monod (Université Paris Diderot/CNRS). Il a reçu le prix Ig Nobel de

Chercheur en rhéologie à l'Institut Jacques Monod, Marc-Antoine Fardin a réalisé ses études à l'université Paris Diderot, à l'université Columbia à New York et au MIT à Boston. Il a également travaillé pour la National University of Singapore et pour l'Ecole Normale Supérieure de Lyon. Il fait aujourd'hui partie de l'équipe d'adhésion cellulaire et mécanique, et a reçu le prix Ig Nobel de physique, le 14 septembre 2017, pour son étude "**les chats sont ils liquides ou**

Felis catus rheology

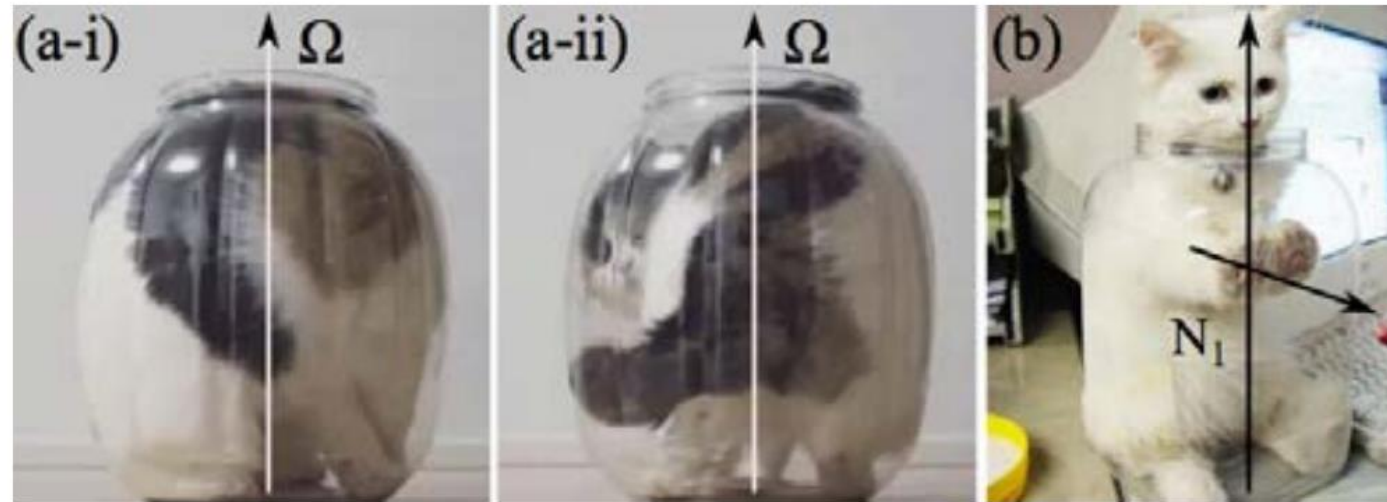


FIG. 3: (a) A cat spontaneously rotates in a cylindrical jar. (b) Normal forces and Weissenberg effect in a young sample of *Felis catus*. [Courtesy of (a) <http://guremike.jp/>, (b) <http://buzzlamp.com/10-weird-places-cats-get-stuck-in/>]

Suspensions



Suspensions

THE CHEMISTRY OF COW'S MILK

MILK'S COMPOSITION

Milk is an emulsion of fat in water. It is also a colloidal suspension of proteins. Other compounds, including lactose and minerals, are fully dissolved in the solution.



FATS IN MILK

Droplets of fat in milk have an average size of 3–4 micrometres. They consist mainly of triglycerides, and also contain fat-soluble vitamins.



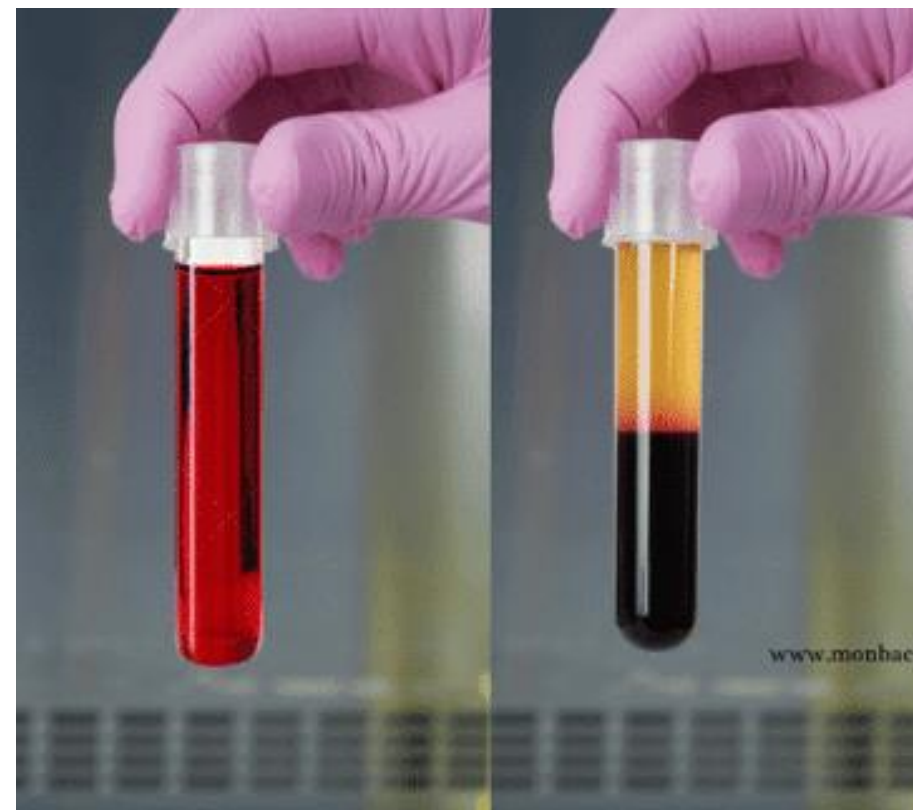
WHY IS MILK WHITE?

Milk contains hundreds of types of protein, of which casein is the main type. The milk proteins form micelles. These micelles scatter light, causing milk to appear white.



LACTOSE & MILK

Lactose is a sugar found in milk. People who are lactose intolerant are unable to digest it. Lactose can be fermented by microorganisms to form lactic acid, causing the milk to sour.



Suspensions



Suspensions

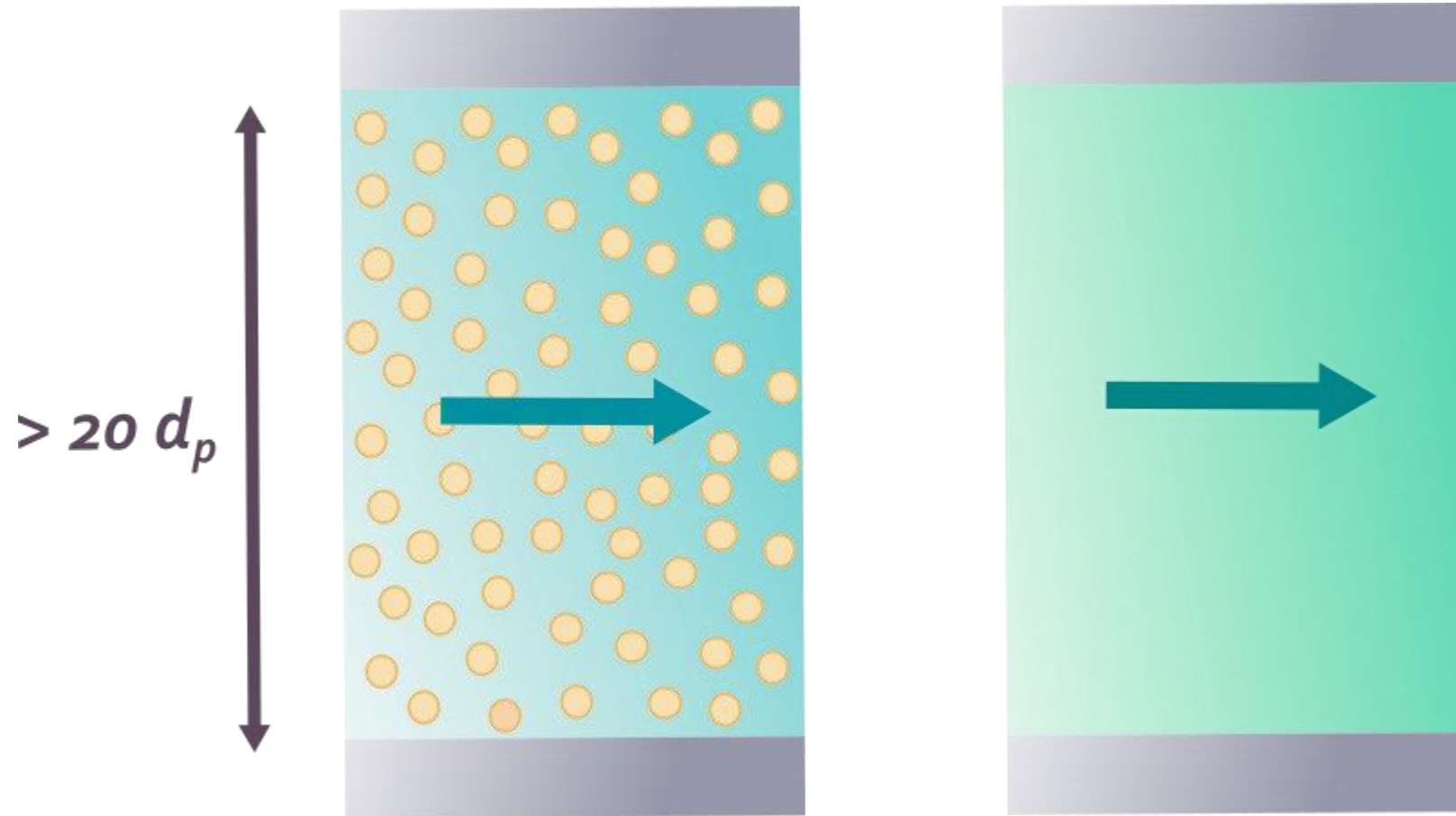
**Suspensions colloïdales =
Mouvement brownien**

Taille des particules $< 1 \mu\text{m}$
Interaction électrostatiques
Stables

**Suspensions granulaires =
Pas de mouvement brownien**

Taille des particules $> 1 \mu\text{m}$
Contacts et interactions hydro
Sédimentation / crémage

Modèle discret et continu



VISCOSITÉ

Viscosité

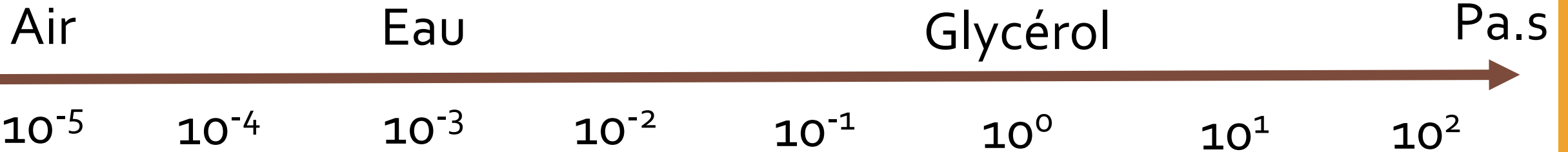


moins visqueux

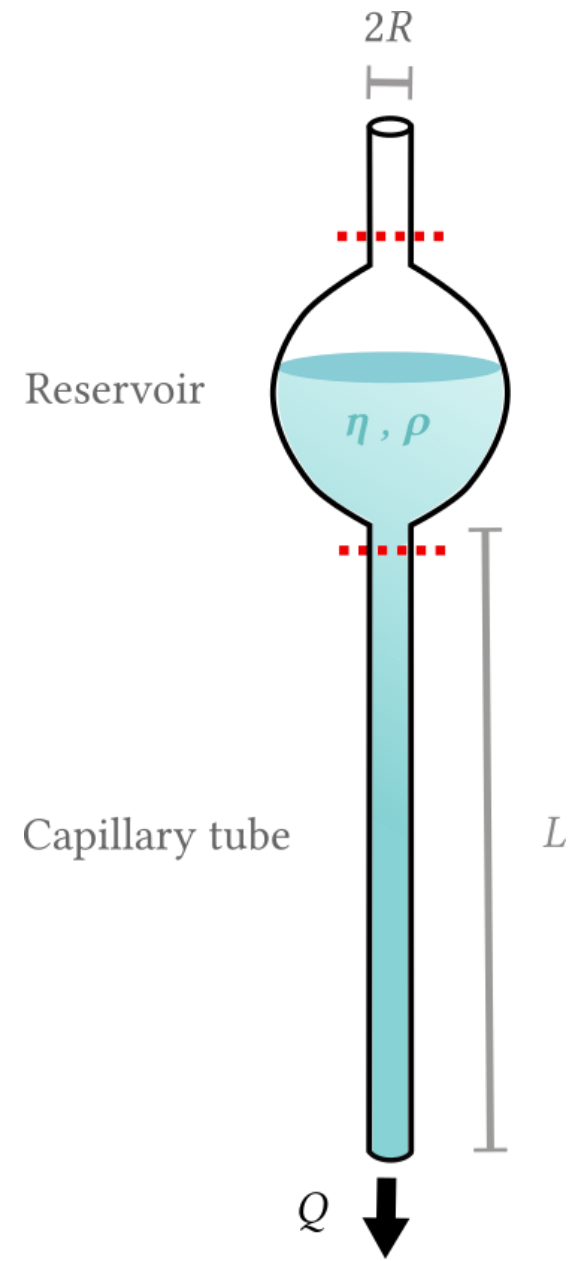
plus visqueux

Viscosité

$$\eta = \frac{\text{contrainte}}{\text{taux de déformation}}$$



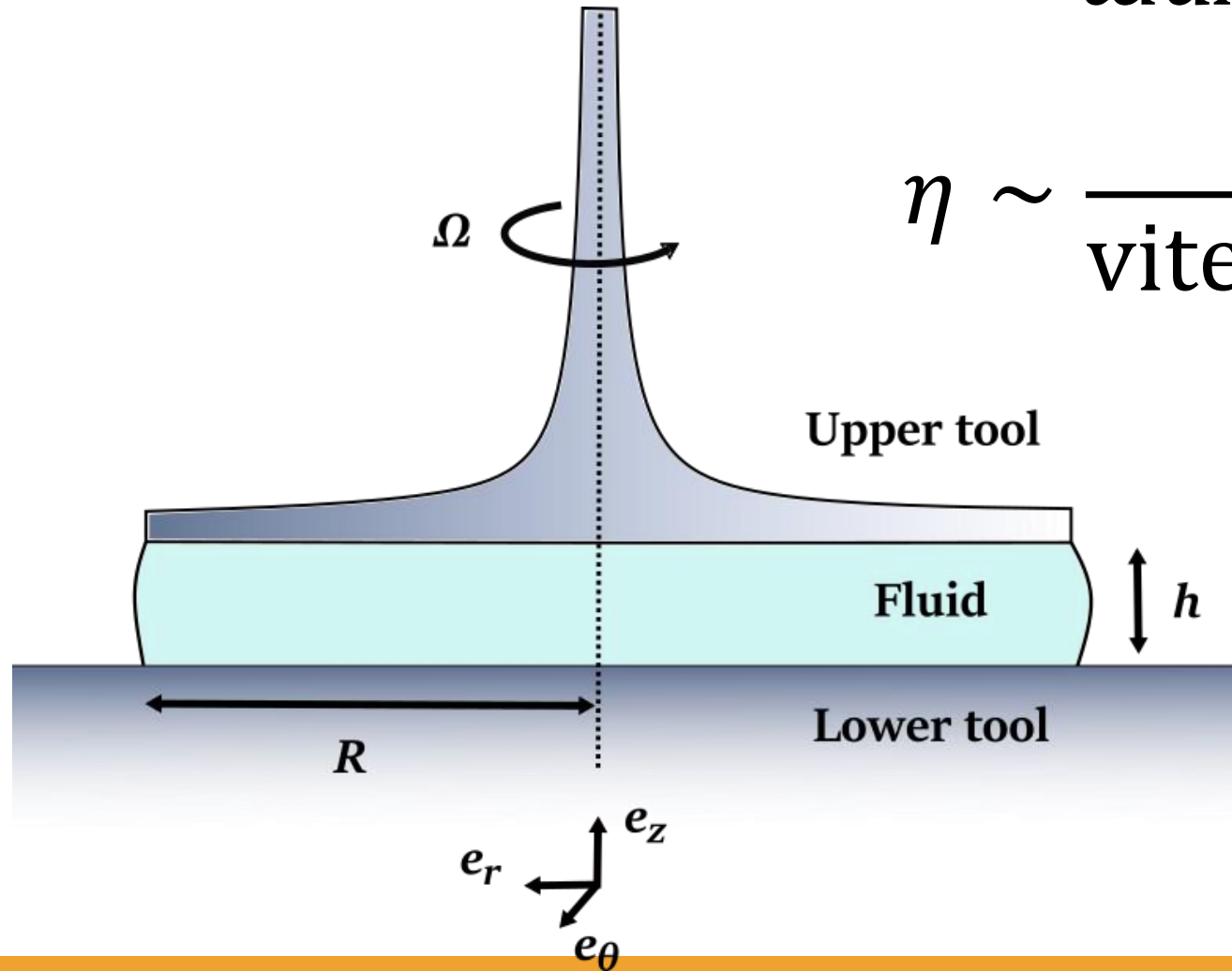
Viscosité



Rhéomètre

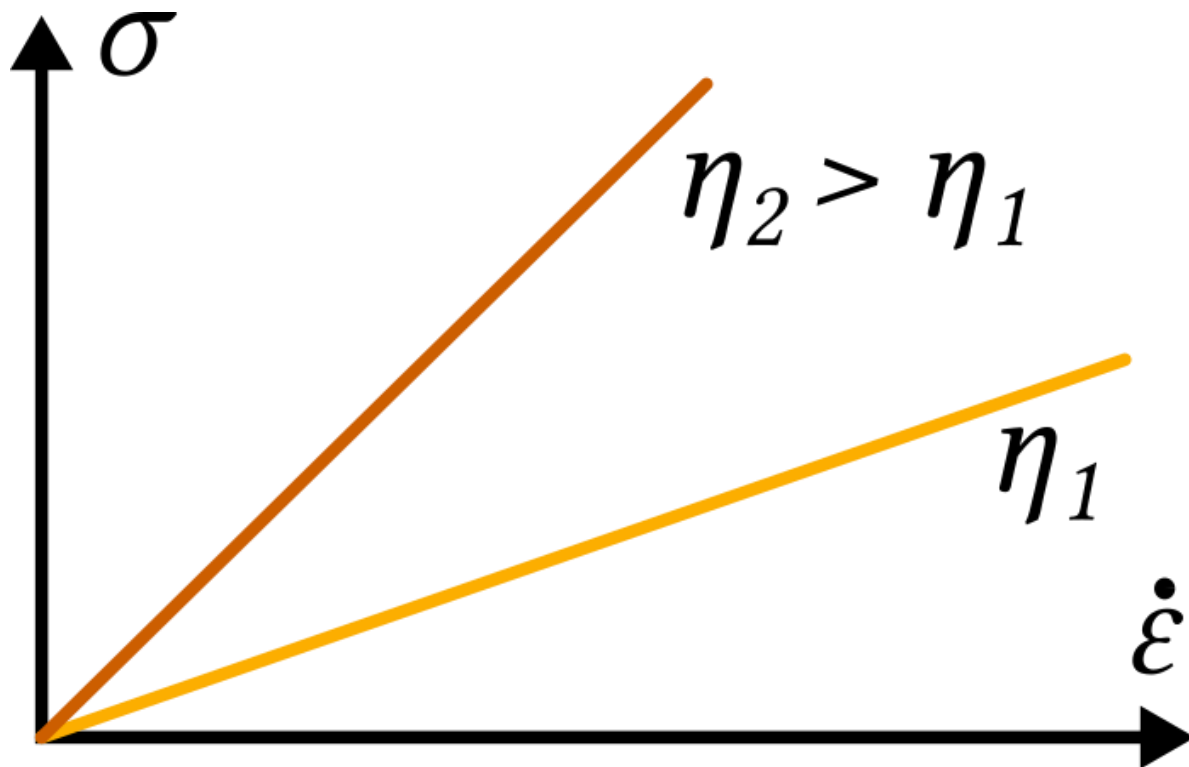
$$\eta = \frac{\text{contrainte } (\sigma)}{\text{taux de déformation } (\dot{\epsilon})}$$

$$\eta \sim \frac{\text{couple}}{\text{vitesse de rotation}}$$



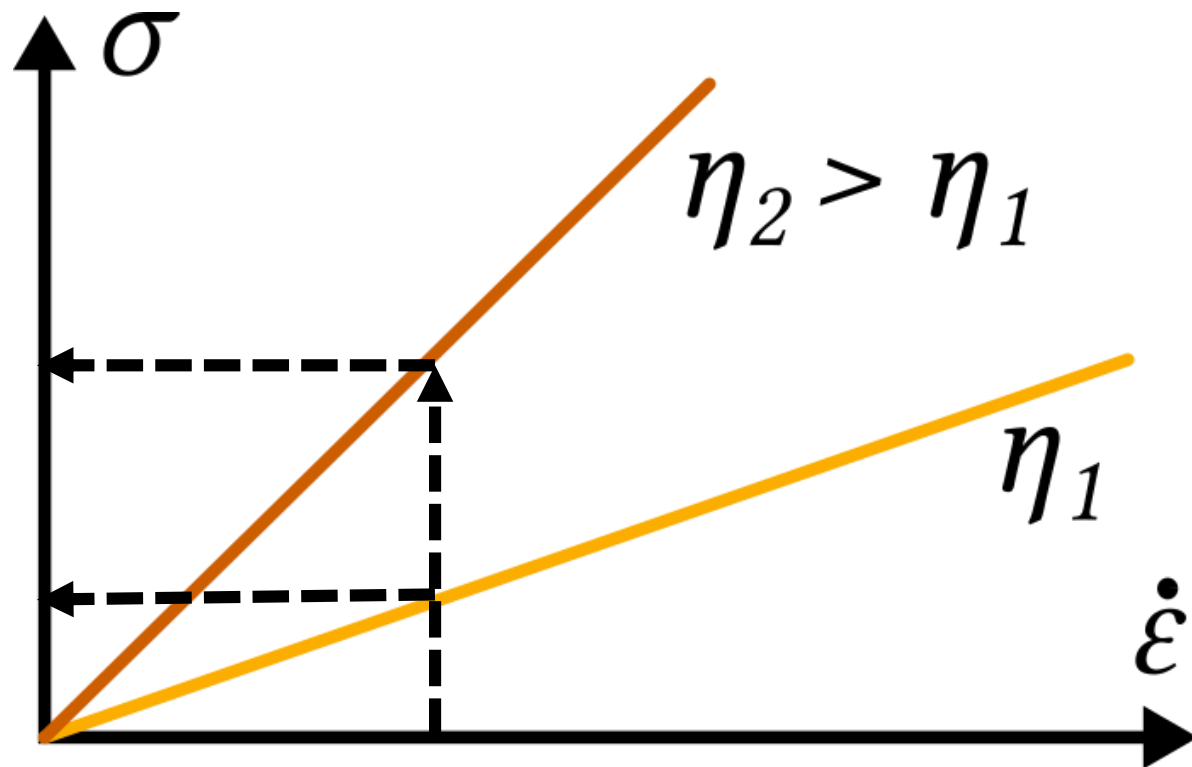
Viscosité

$$\eta = \frac{\text{contrainte } (\sigma)}{\text{taux de déformation } (\dot{\epsilon})}$$



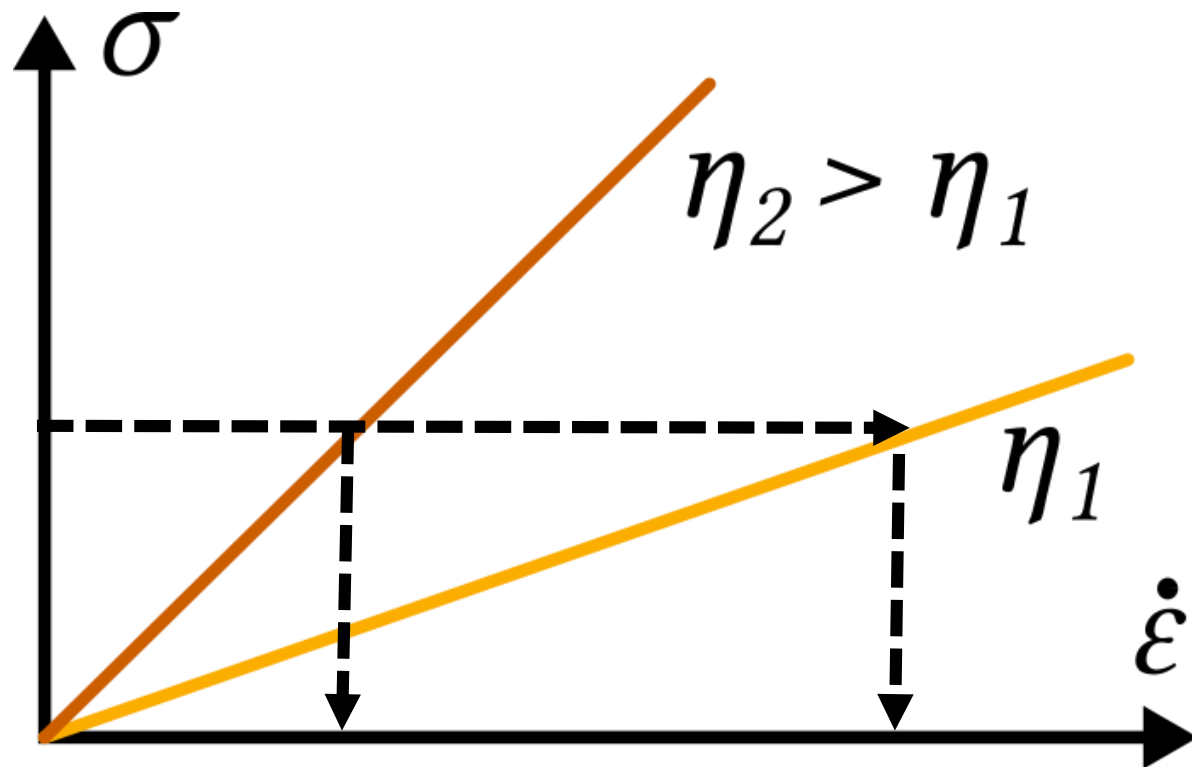
Viscosité

$$\eta = \frac{\text{contrainte } (\sigma)}{\text{taux de déformation } (\dot{\epsilon})}$$



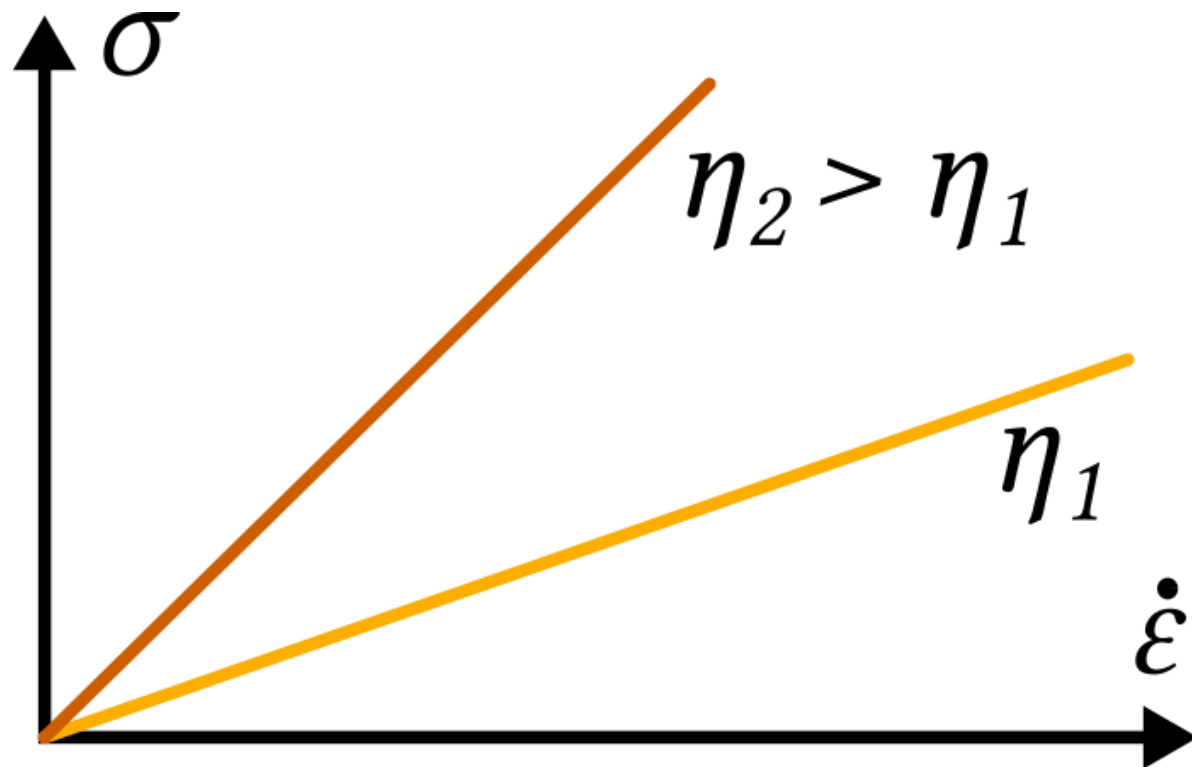
Viscosité

$$\eta = \frac{\text{contrainte } (\sigma)}{\text{taux de déformation } (\dot{\epsilon})}$$



Viscosité

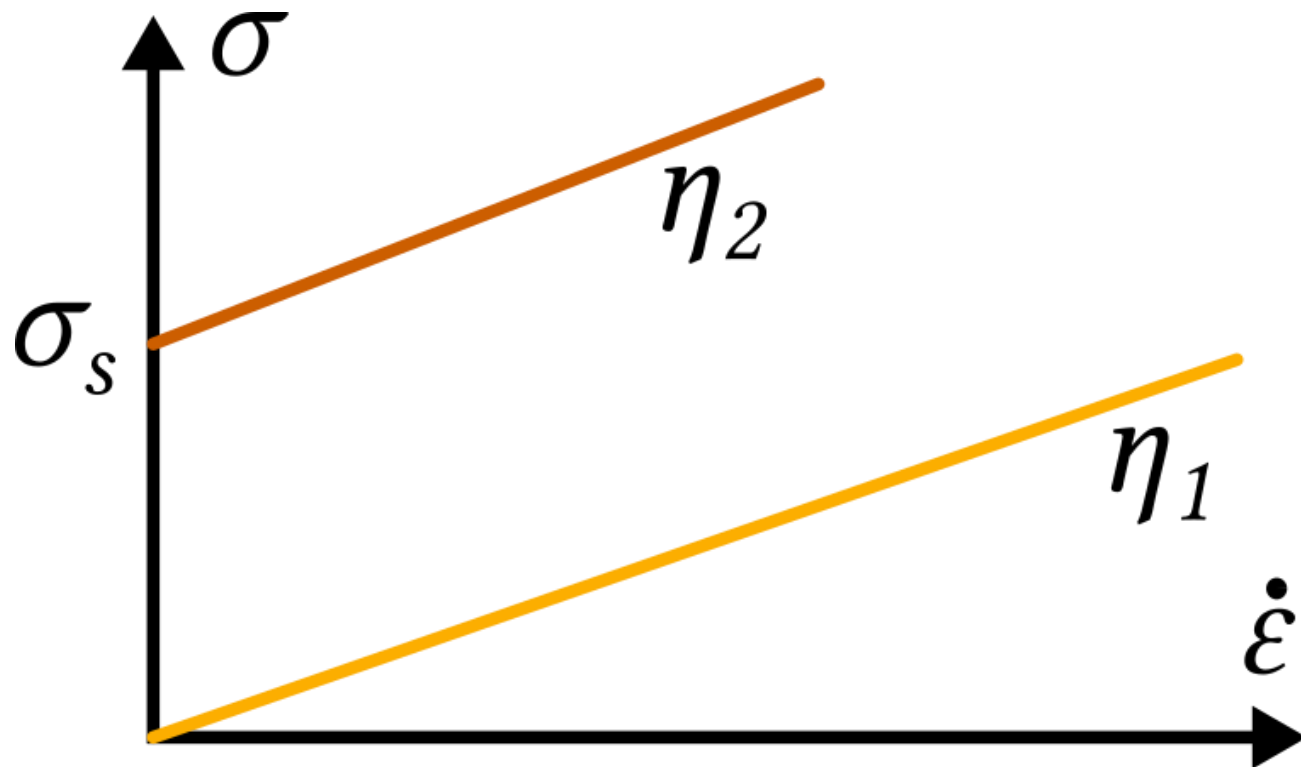
$$\eta = \frac{\text{contrainte } (\sigma)}{\text{taux de déformation } (\dot{\epsilon})}$$



Fluide newtonien :
Viscosité indépendante
du taux de déformation

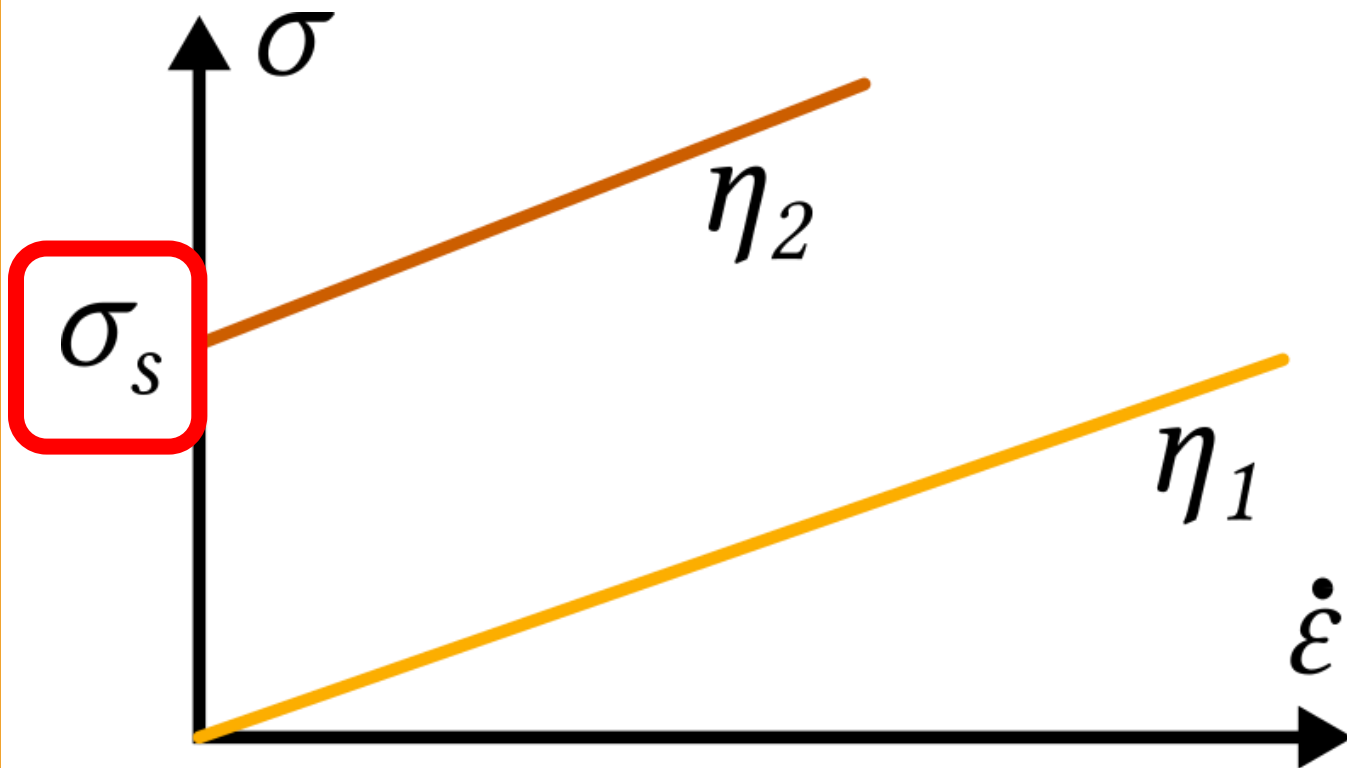
Viscosité

$$\eta = \frac{\text{contrainte } (\sigma)}{\text{taux de déformation } (\dot{\epsilon})}$$



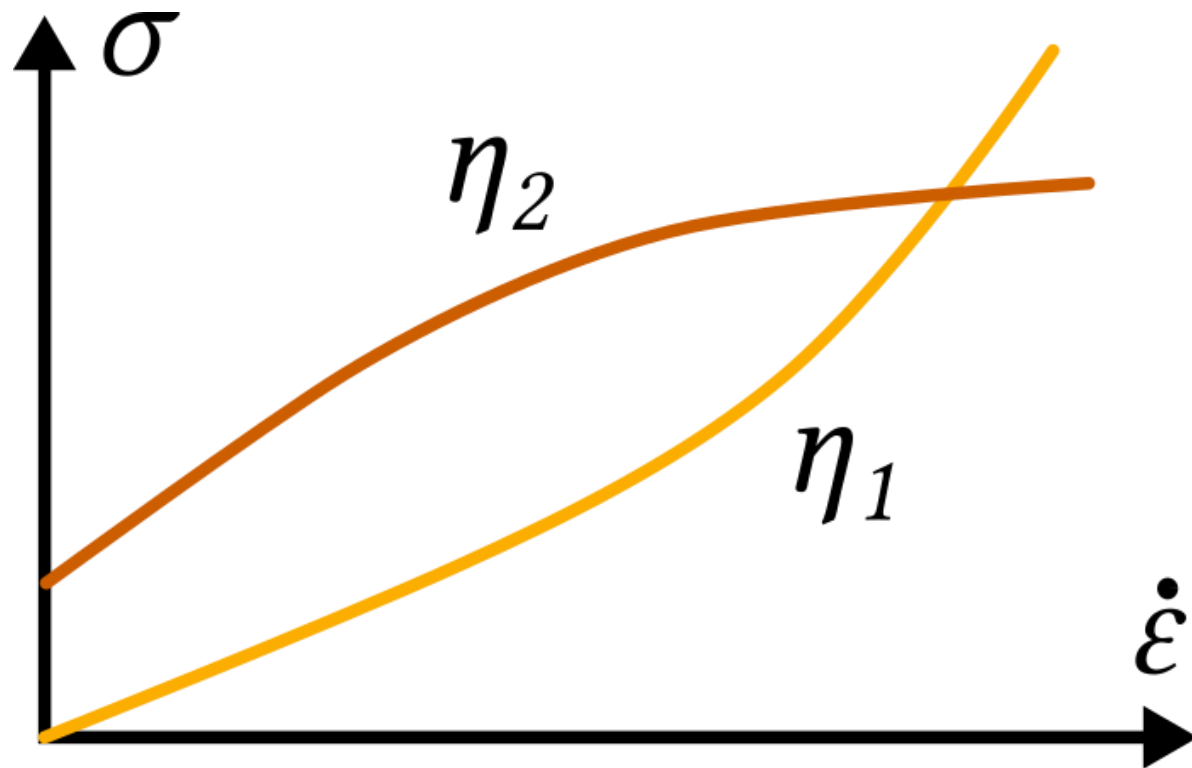


Fluides à seuil



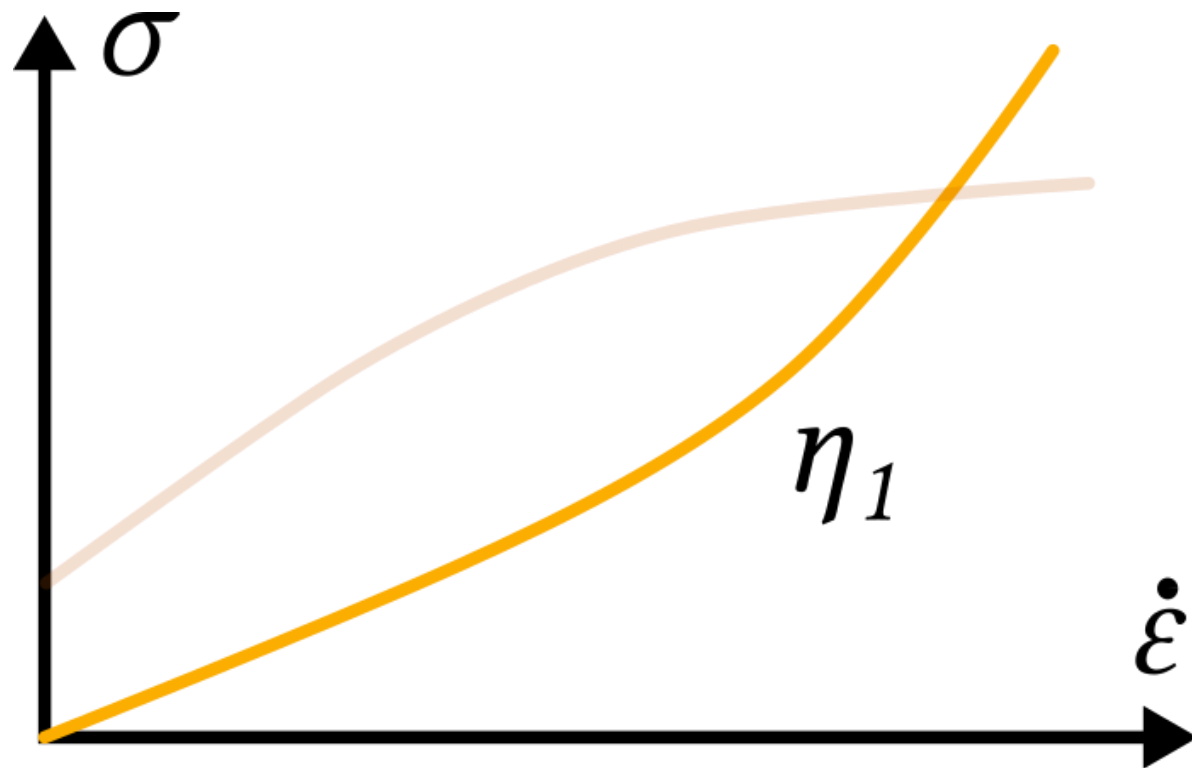
Viscosité

$$\eta = \frac{\text{contrainte}}{\text{taux de déformation}}$$



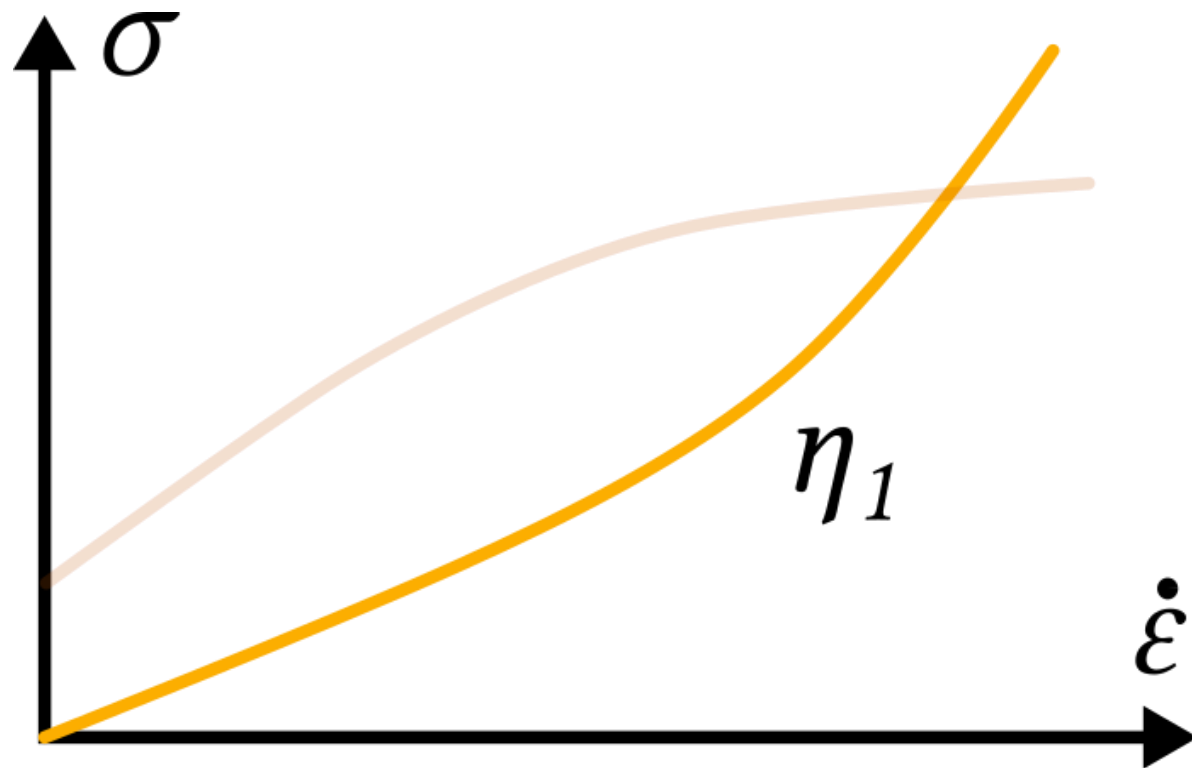
$$\eta = \frac{d\sigma}{d\dot{\epsilon}}$$

Fluides rhéo-épaississants



$$\eta = \frac{d\sigma}{d\dot{\epsilon}}$$

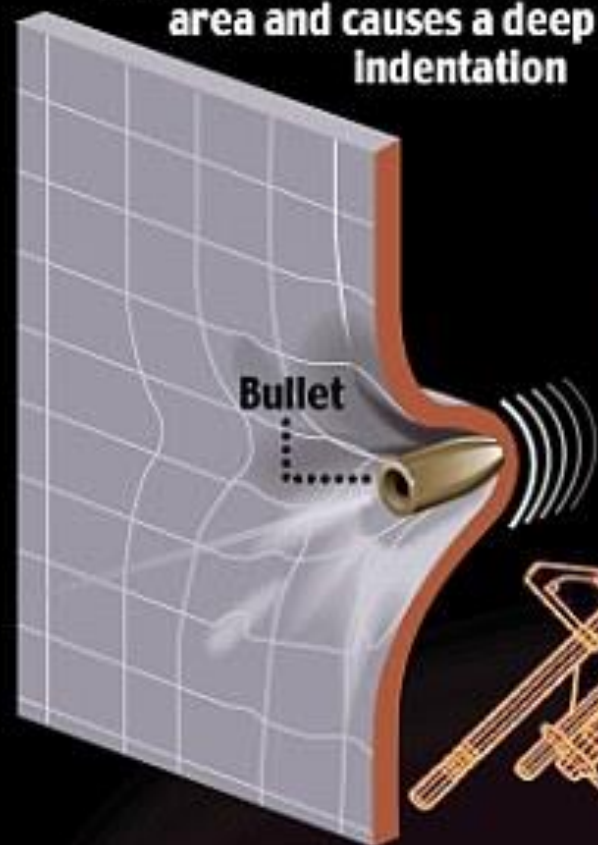
Fluides rhéo-épaississants



HOW IT WORKS

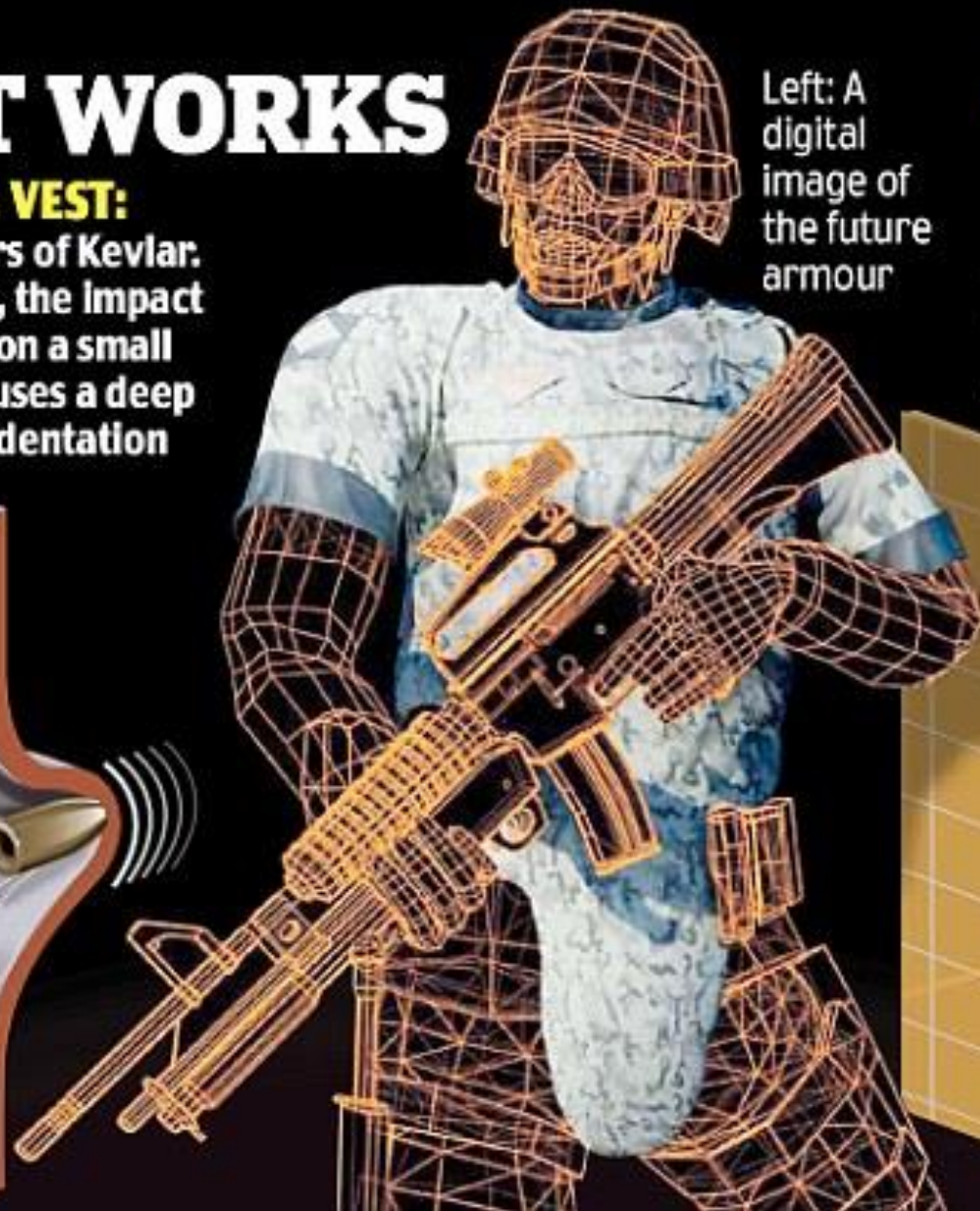
TRADITIONAL VEST:

Contains 31 layers of Kevlar. When bullet hits, the impact is concentrated on a small area and causes a deep indentation

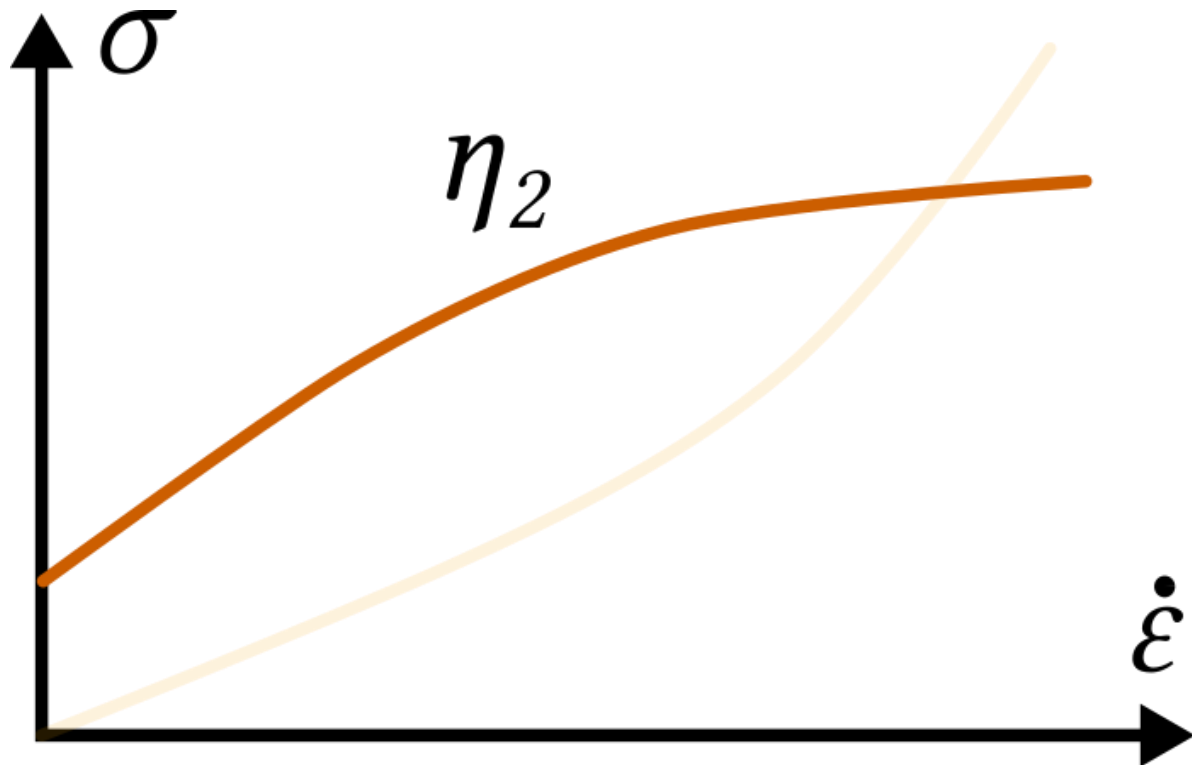


Left: A digital image of the future armour

LIQUID ARMOUR: Contains ten layers of Kevlar with thick fluid between each layer. When bullet hits, the fluid solidifies and absorbs the impact over a wider area

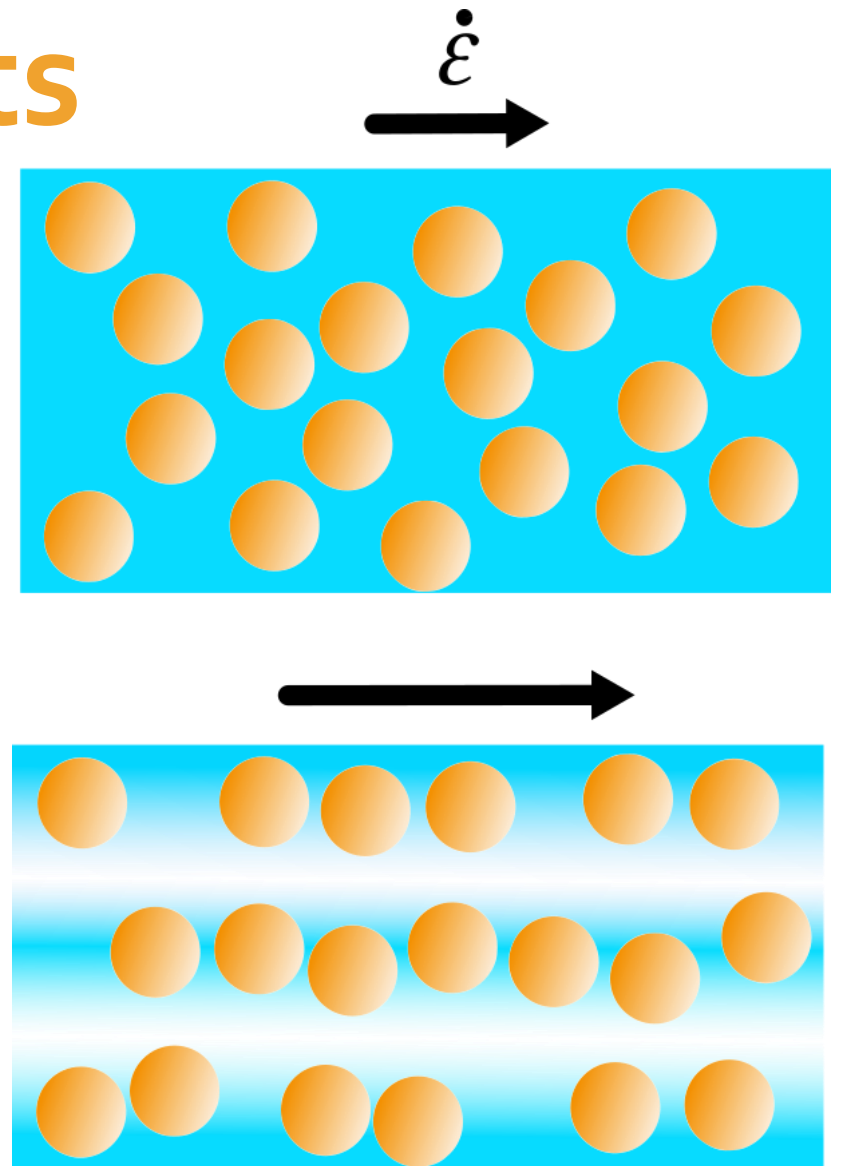
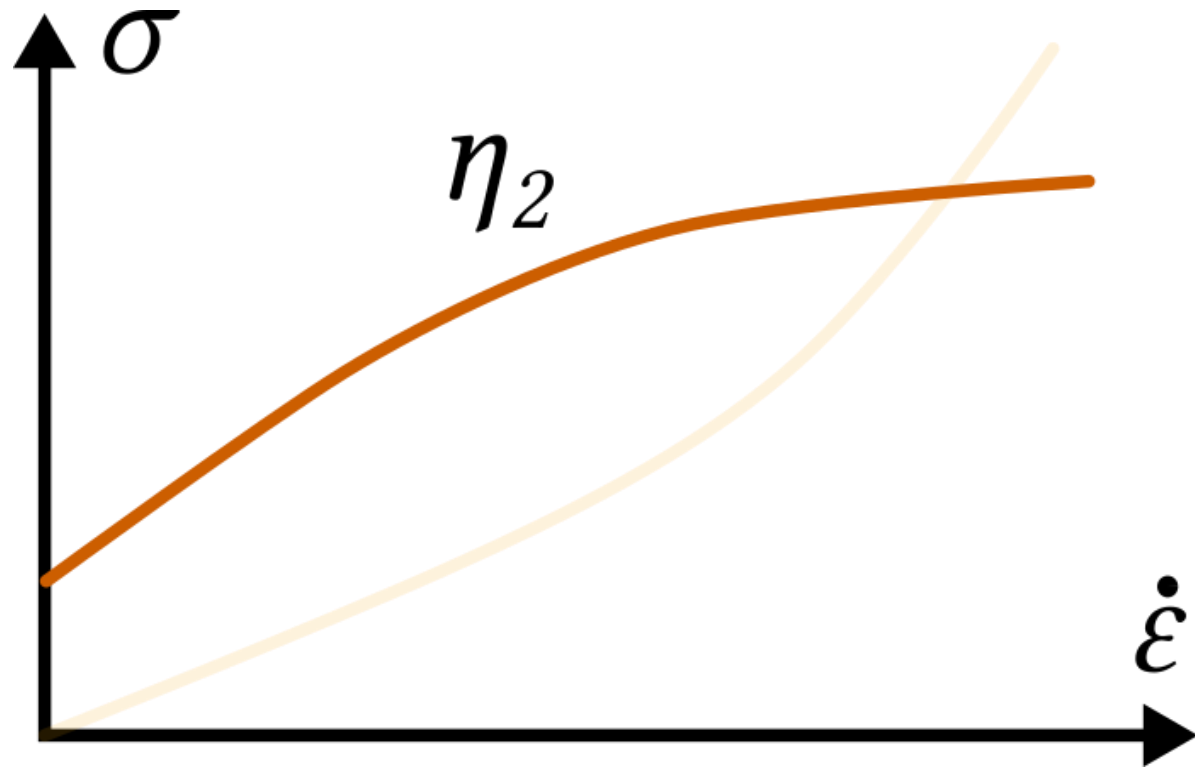


Fluides rhéo-fluidifiants

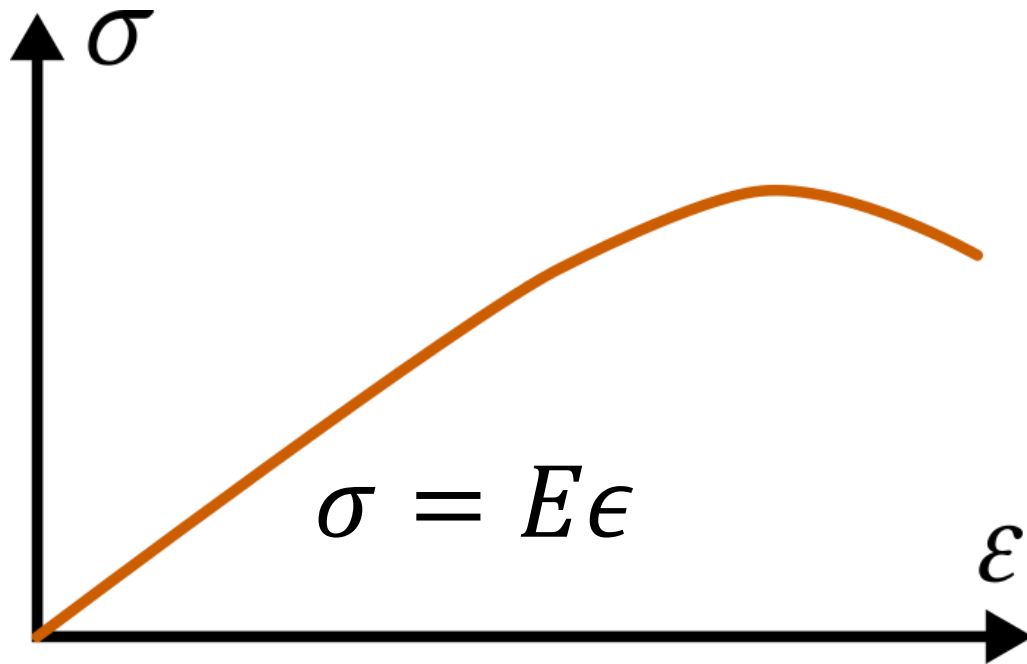


$$\eta = \frac{d\sigma}{d\dot{\epsilon}}$$

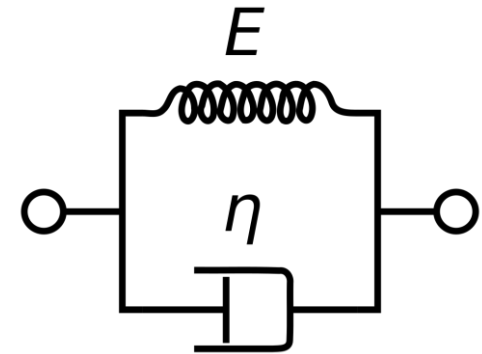
Fluides rhéo-fluidifiants



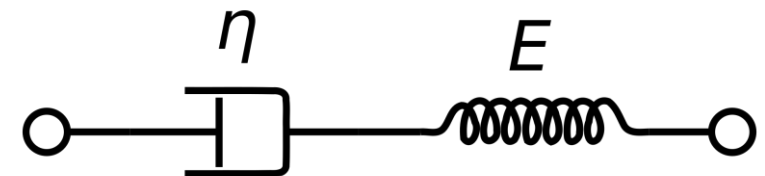
Elasticité et plasticité



Modèle de Kelvin-Voigt

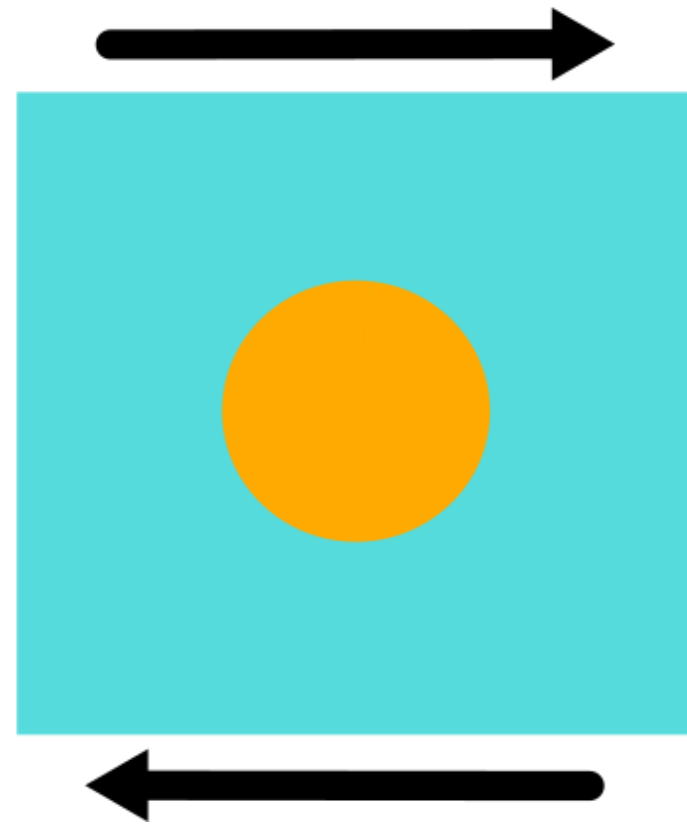
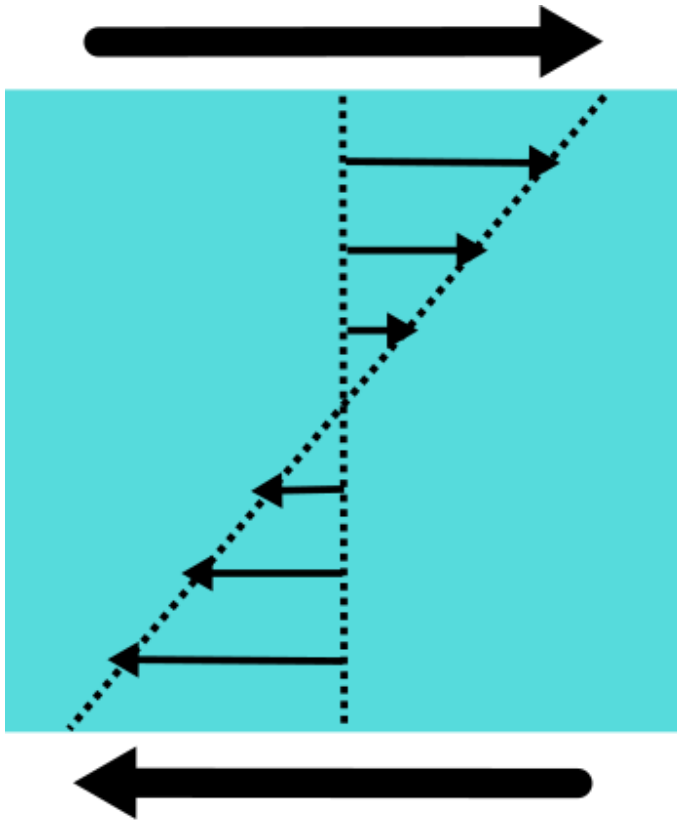


Modèle de Maxwell



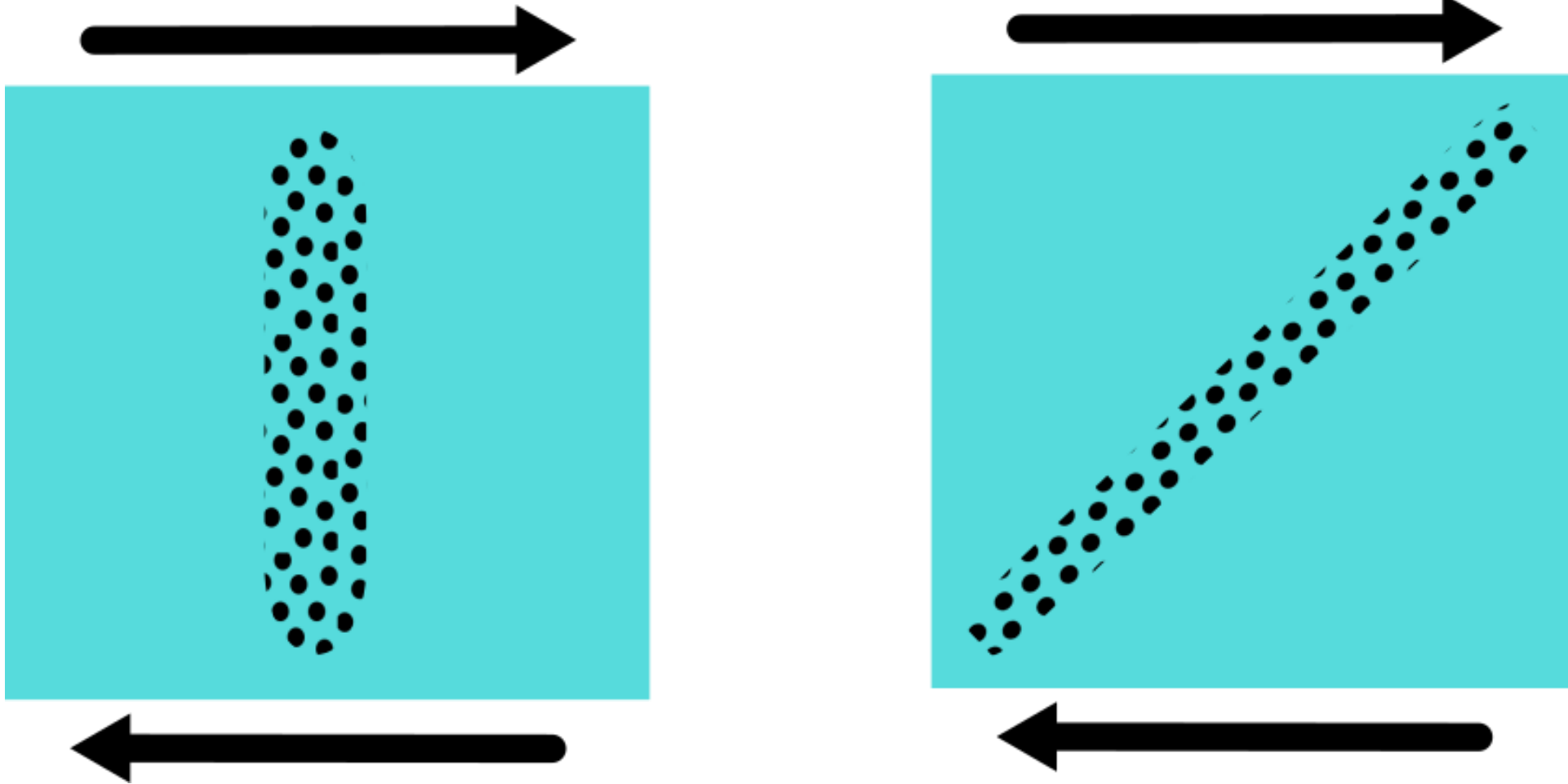
RHÉOLOGIES DES SUSPENSIONS GRANULAIRES

Une particule dans un cisaillement

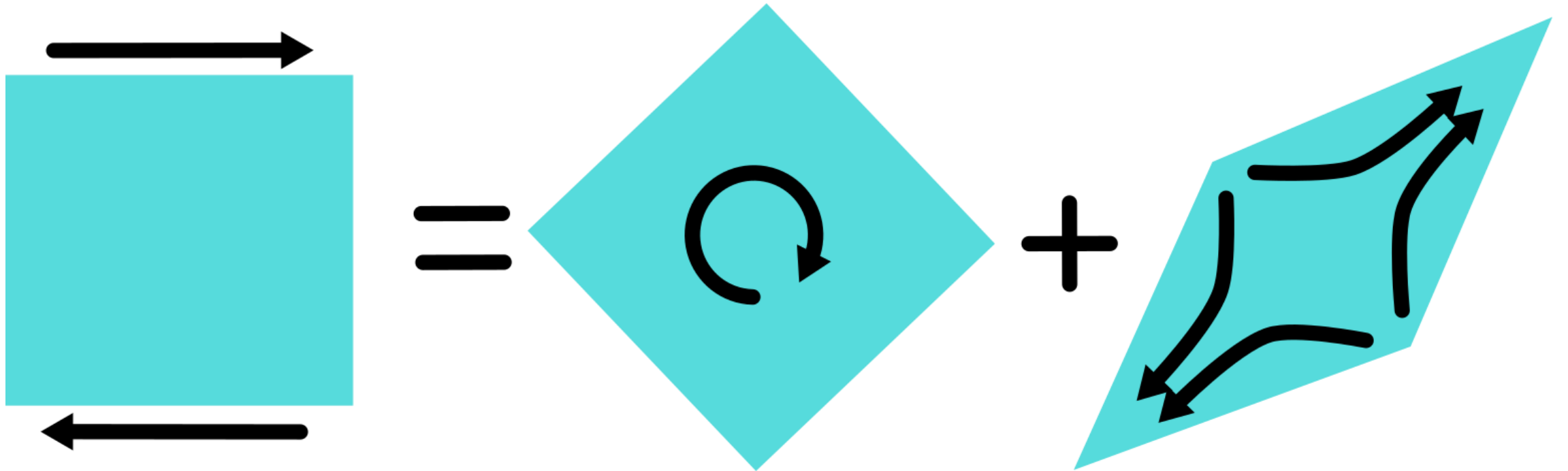


?

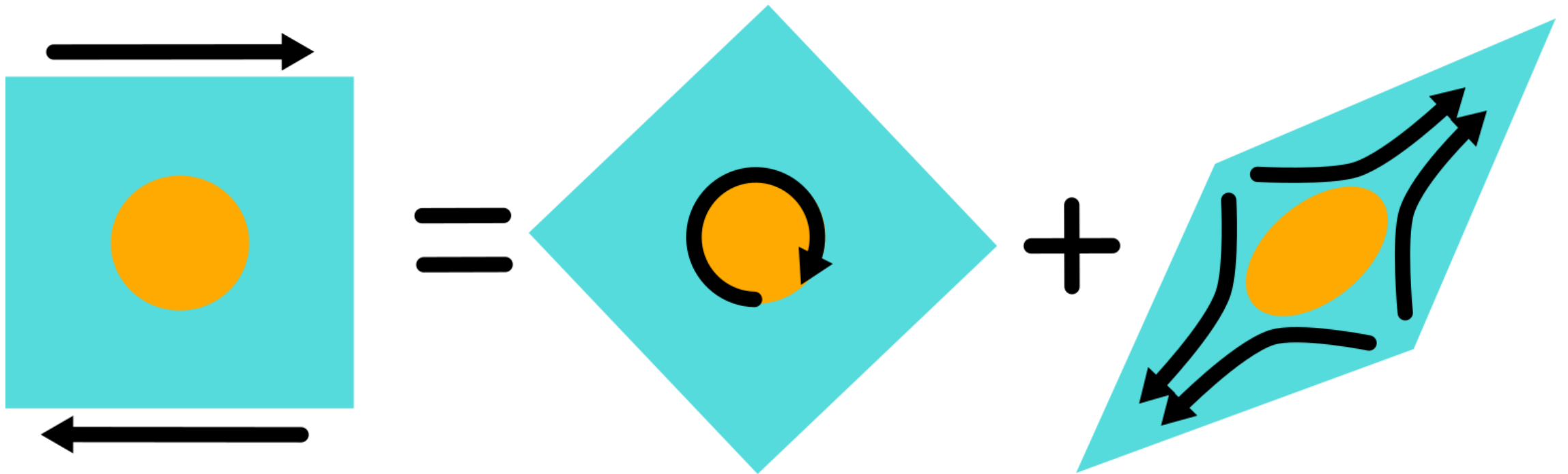
Une particule dans un cisaillement



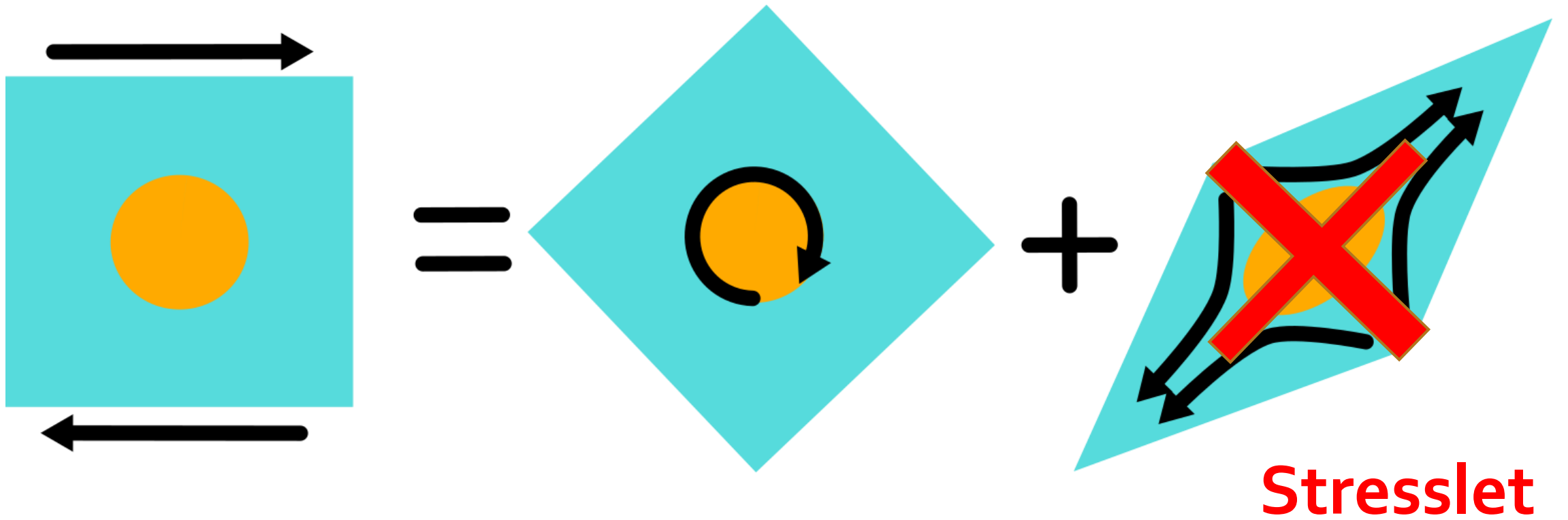
Une particule dans un cisaillement

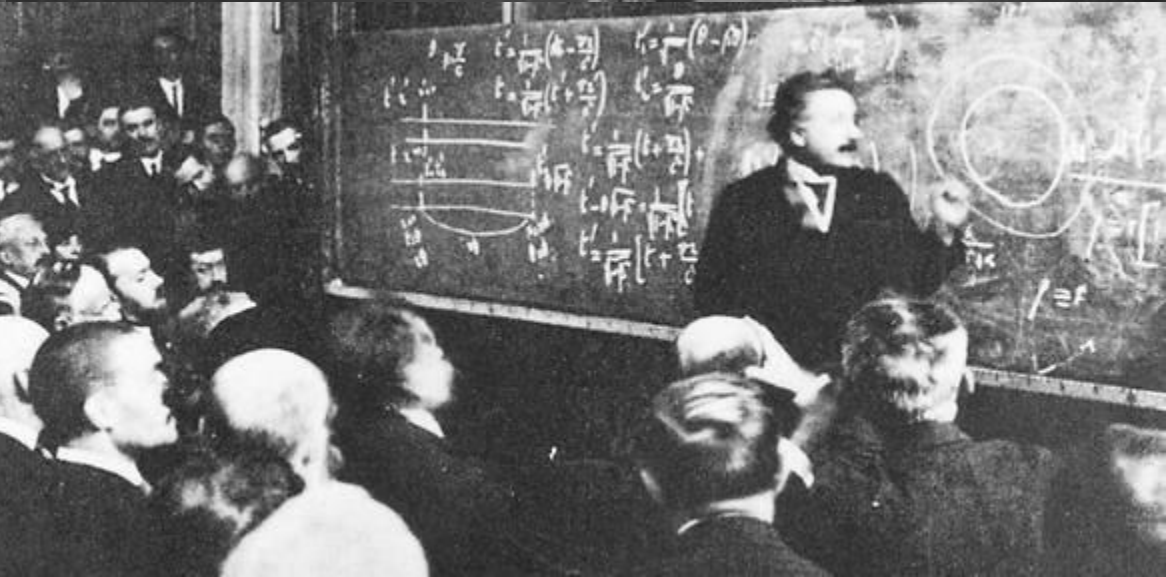
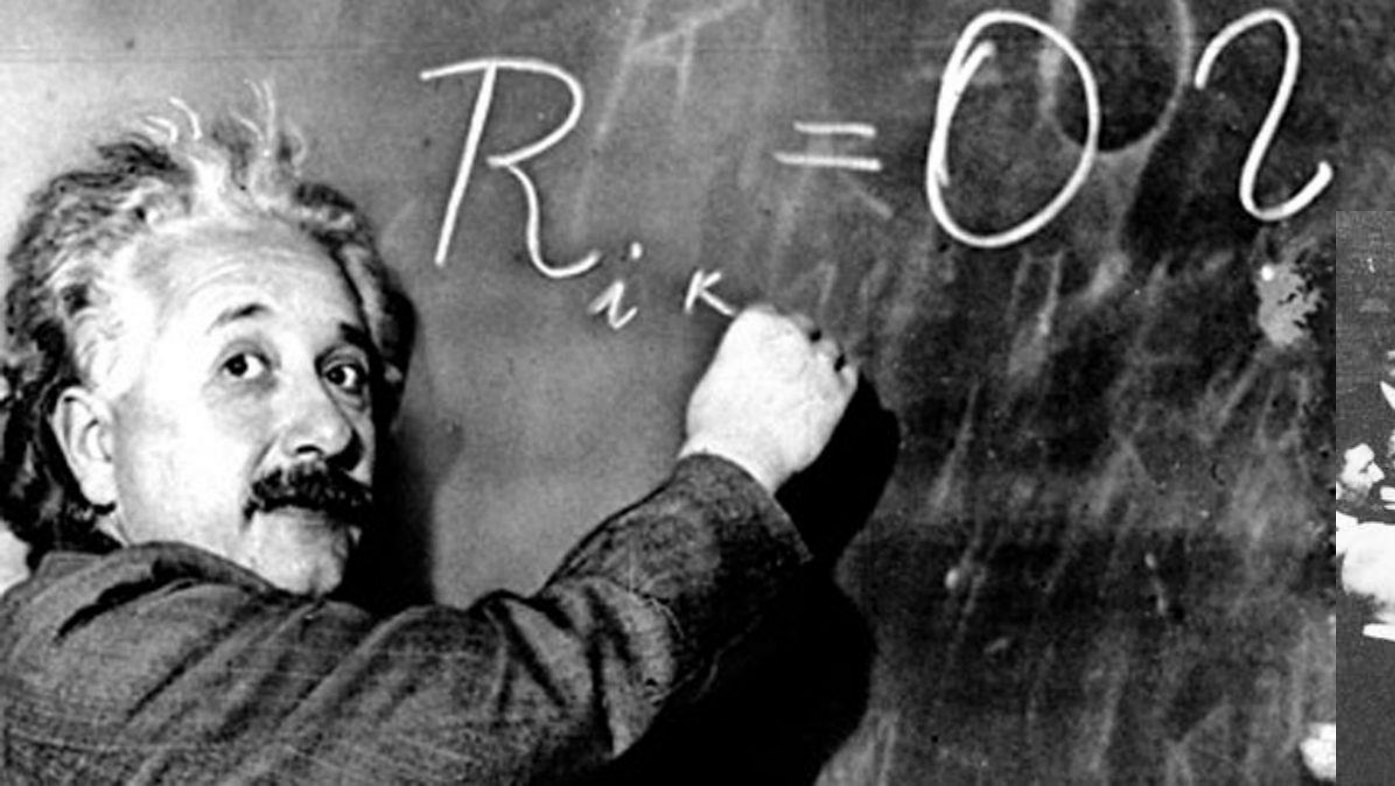
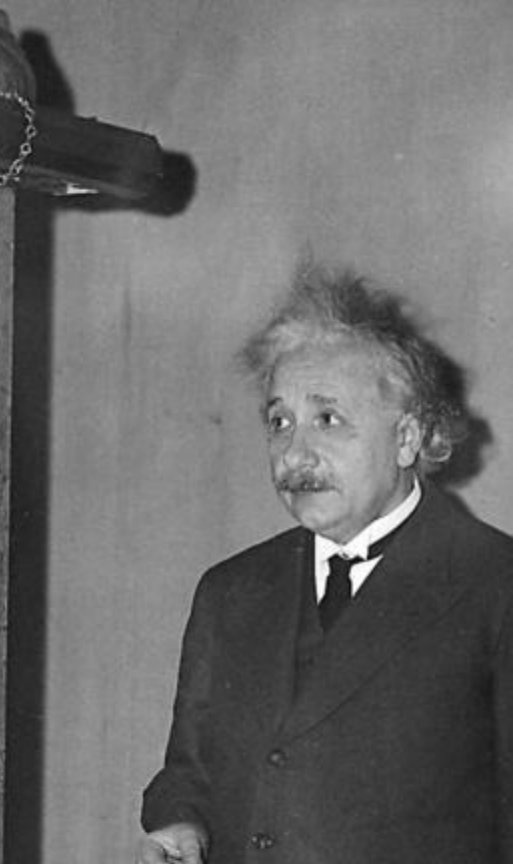
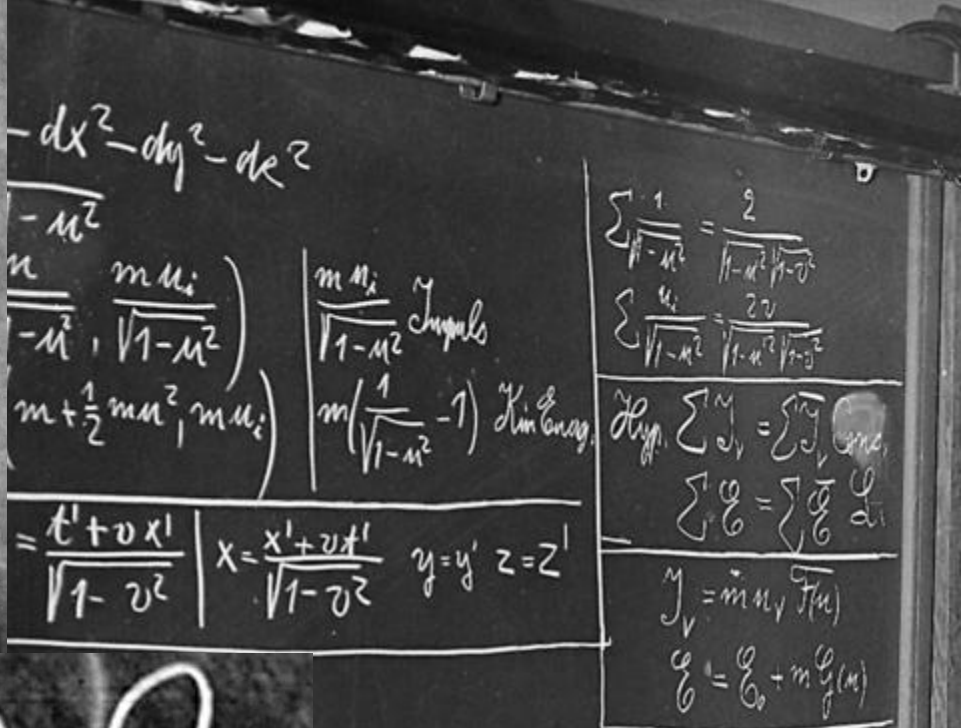
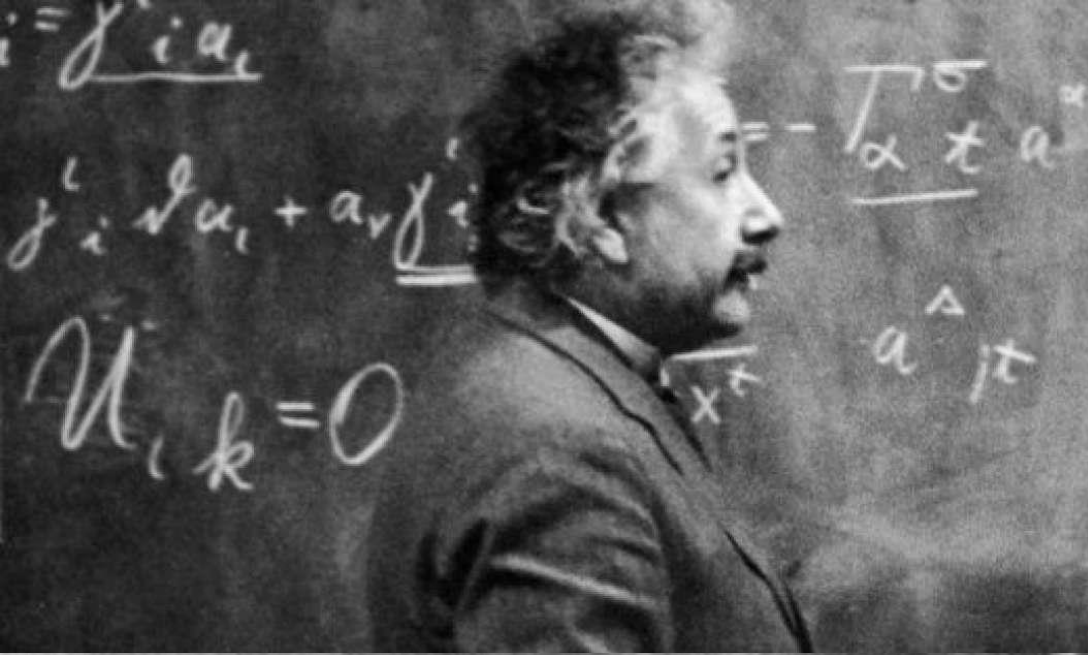


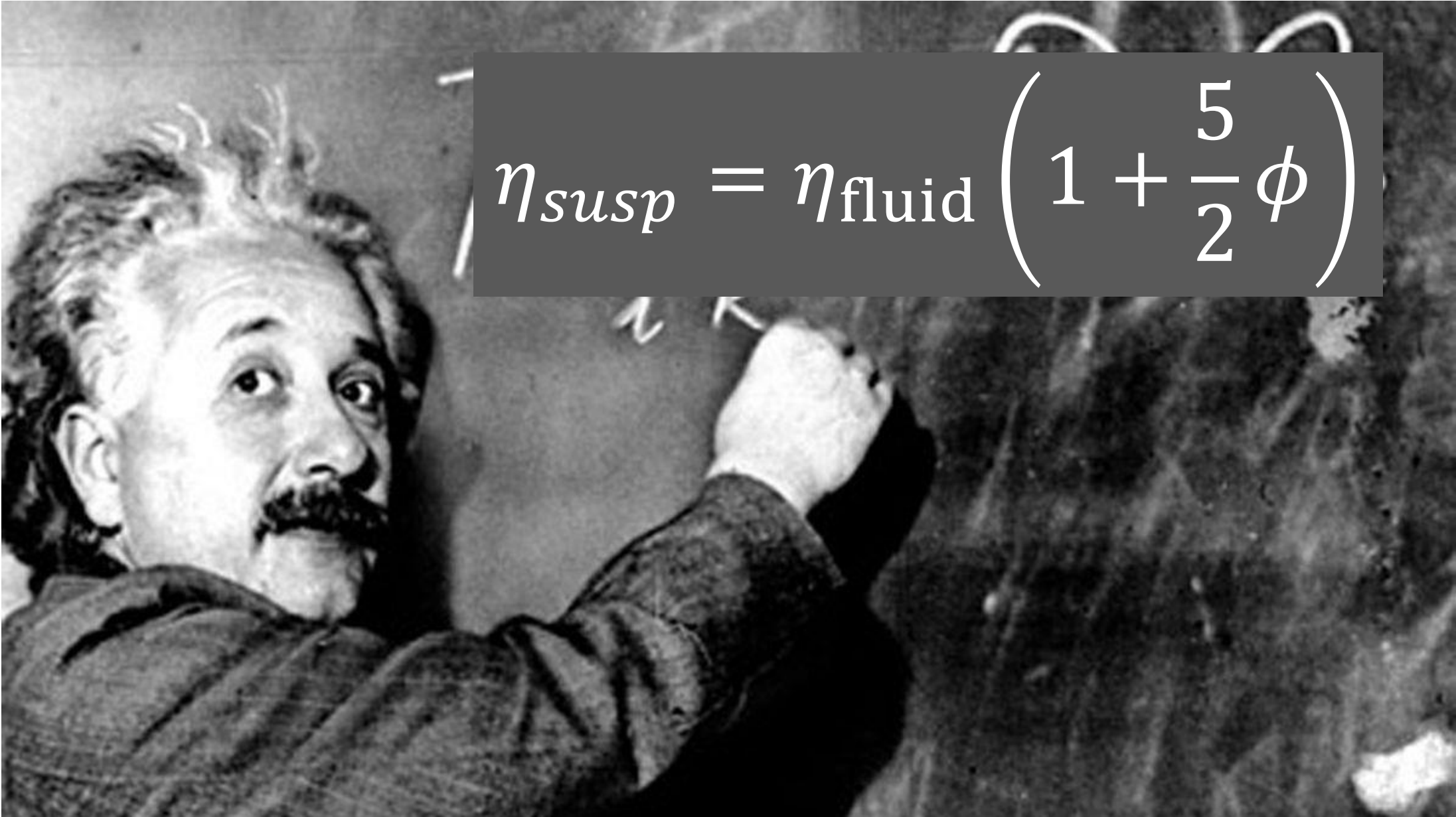
Une particule dans un cisaillement



Une particule dans un cisaillement





A black and white photograph of Albert Einstein, showing him from the chest up, looking towards the camera while writing on a chalkboard. He has his characteristic wild hair and mustache. A semi-transparent dark grey rectangular box is overlaid on the right side of the image, containing a mathematical equation in white text. The equation is the Einstein-Sutherland equation for the relative viscosity of a suspension of rigid spheres.
$$\eta_{susp} = \eta_{fluid} \left(1 + \frac{5}{2} \phi \right)$$

Une particule dans un cisaillement

Viscosité d'Einstein (1905)

$$\phi = \frac{V_{\text{particules}}}{V_{\text{total}}}$$

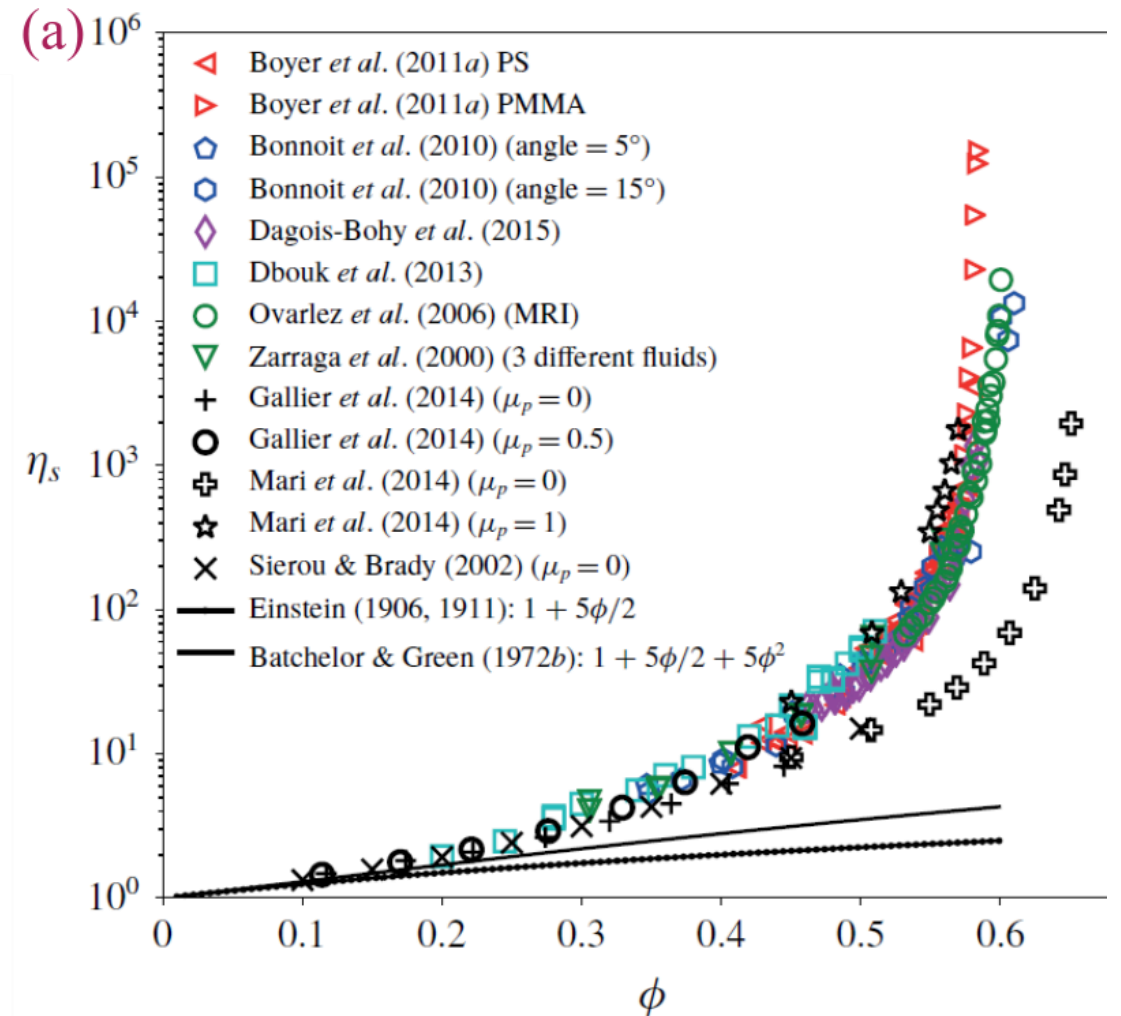
$$\eta_{\text{susp}} = \eta_{\text{fluid}} \left(1 + \frac{5}{2} \phi \right)$$

Une particule dans un cisaillement

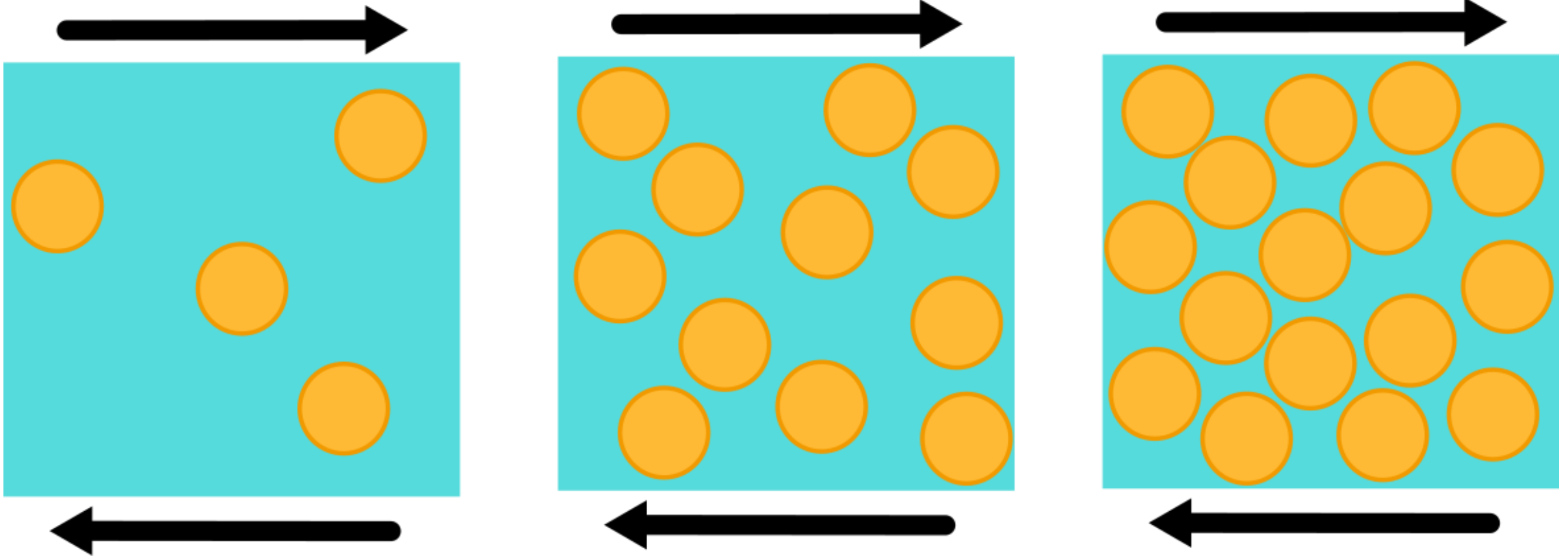
Viscosité d'Einstein (1905)

$$\phi = \frac{V_{\text{particules}}}{V_{\text{total}}}$$

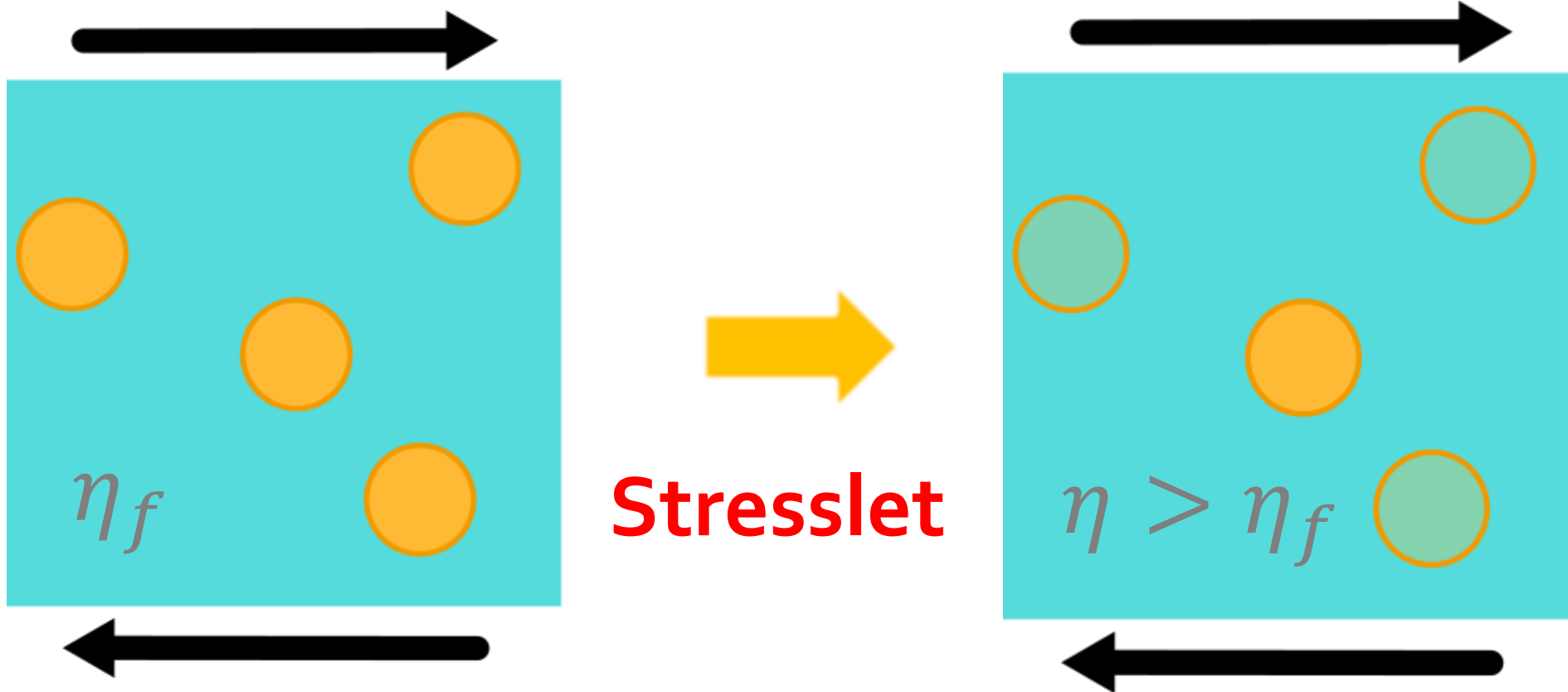
$$\eta_{\text{susp}} = \eta_{\text{fluid}} \left(1 + \frac{5}{2} \phi \right)$$



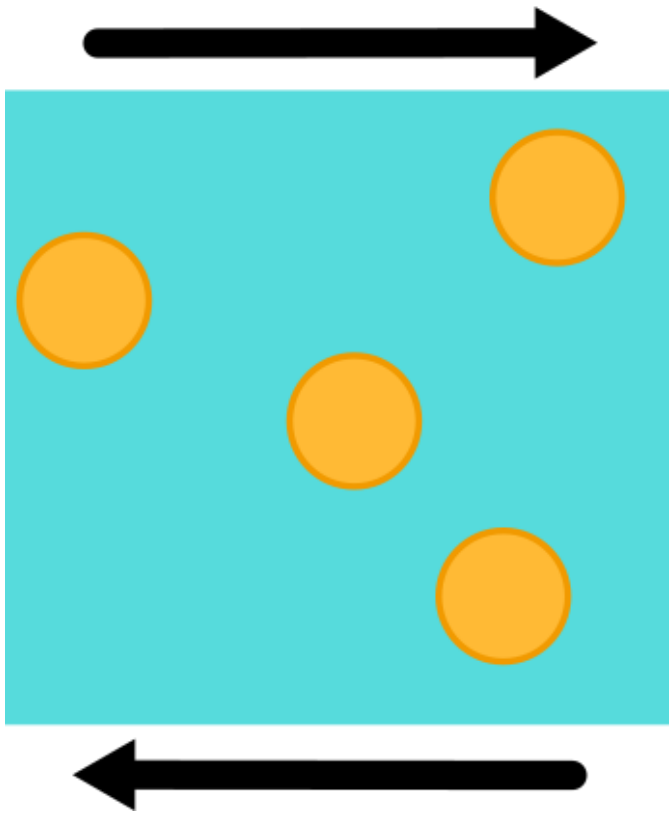
Plusieurs particules



Plusieurs particules



Plusieurs particules



Viscosité de Batchelor (1952)

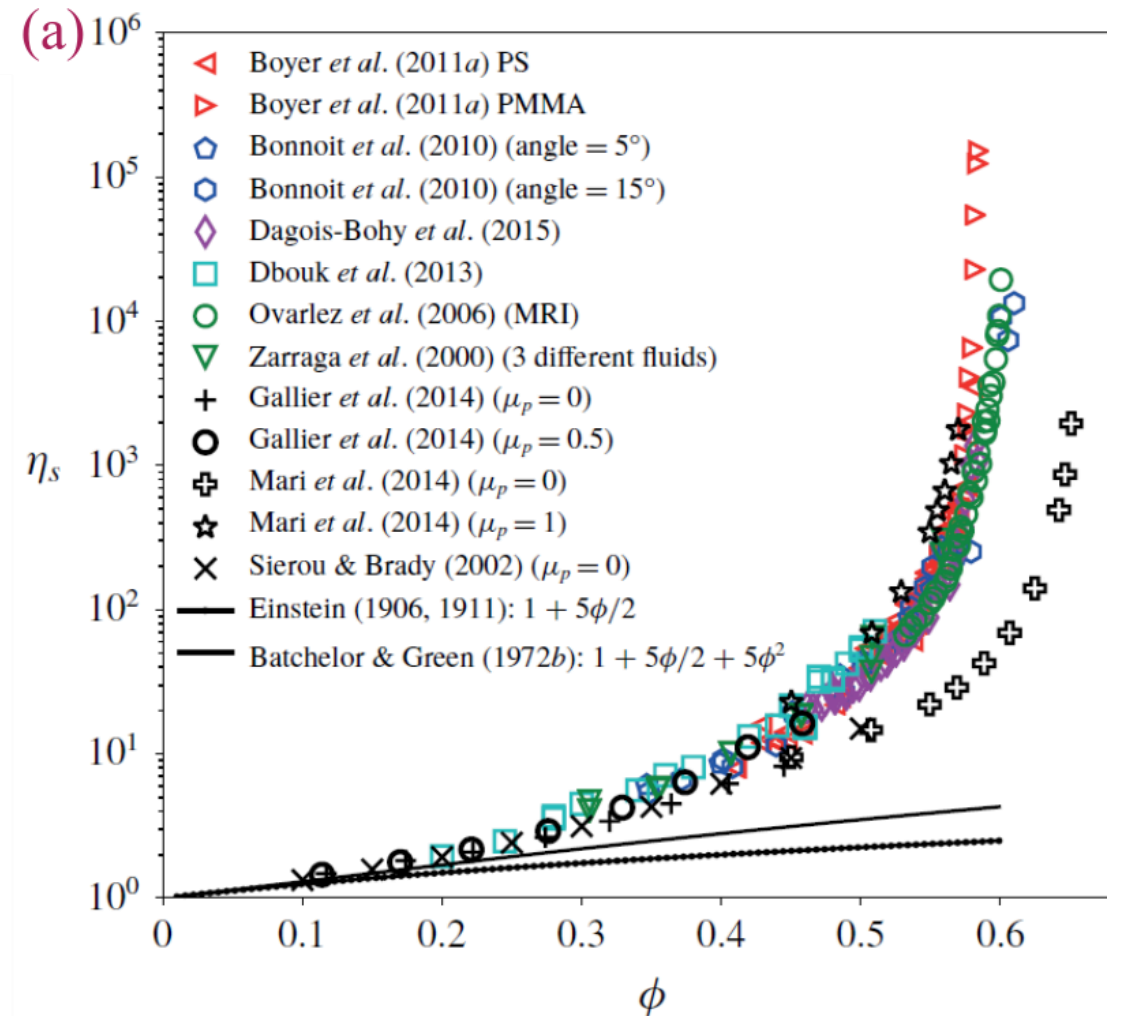
$$\eta_s = \frac{\eta_{\text{susp}}}{\eta_{\text{fluid}}} = \left(1 + \frac{5}{2}\phi + 5\phi^2 \right)$$



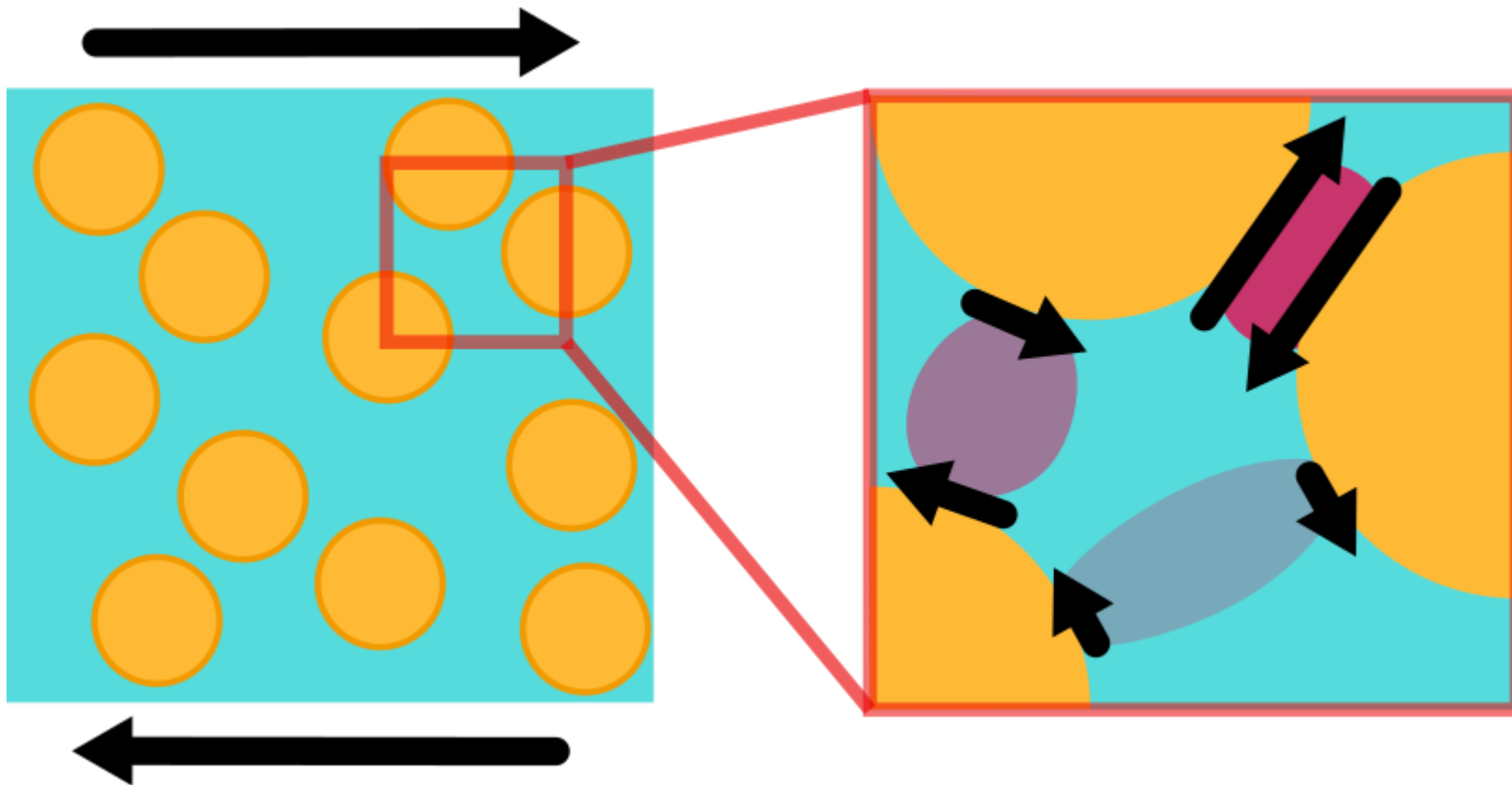
Plusieurs particules

Viscosité de Batchelor (1952)

$$\eta_s = \frac{\eta_{\text{susp}}}{\eta_{\text{fluid}}} = \left(1 + \frac{5}{2}\phi + 5\phi^2 \right)$$

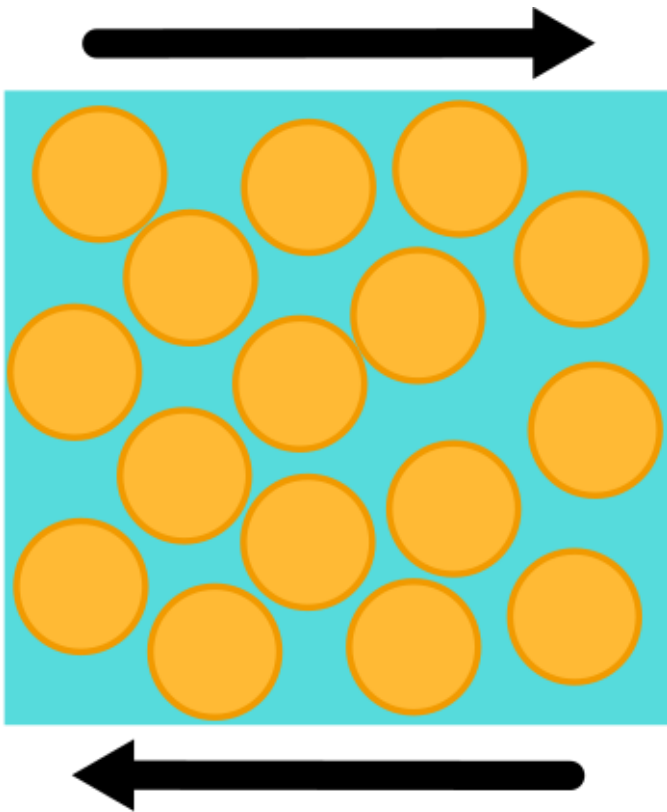


Plusieurs particules



→ Interactions hydrodynamiques

Plusieurs particules

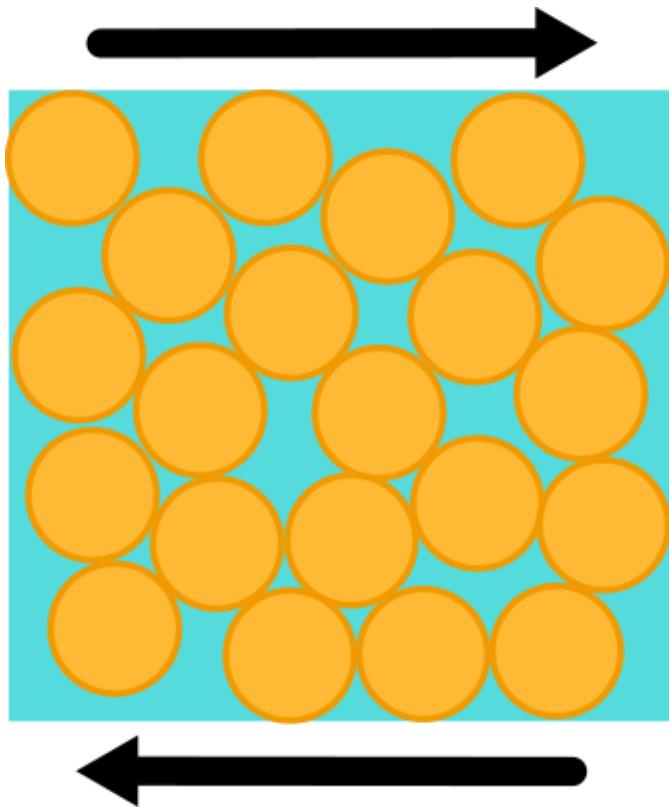


→ Contacts

Coefficient de friction microscopique

μ_p

Jamming



Compacité maximum

$$\phi_c \approx 55 - 60 \%$$

Déformation impossible

Viscosité des suspensions granulaires

Regime	Dilute	Semi-dilute	Dense
ϕ range	0 - 10%	10% - 20%	20% - ϕ_c
Interpolation	Einstein et al. (1905) $\eta_s = 1 + \frac{5}{2}\phi$	Batchelor and Green (1972) and (Batchelor 1977) $\eta_s = 1 + \frac{5}{2}\phi + 6.2\phi^2$	Krieger and Dougherty (1959) $\eta_s = (1 - \phi/\phi_c)^{-[\eta]\phi_c}$
			Eilers (1941) $\eta_s = \left(1 + \frac{[\eta]\phi}{1 - \phi/\phi_c}\right)^2$
			Mooney (1951) $\eta_s = \exp\left(\frac{[\eta]\phi}{1 - \phi/\phi_c}\right)$

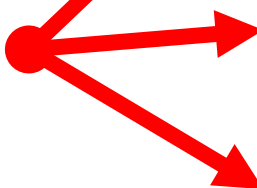
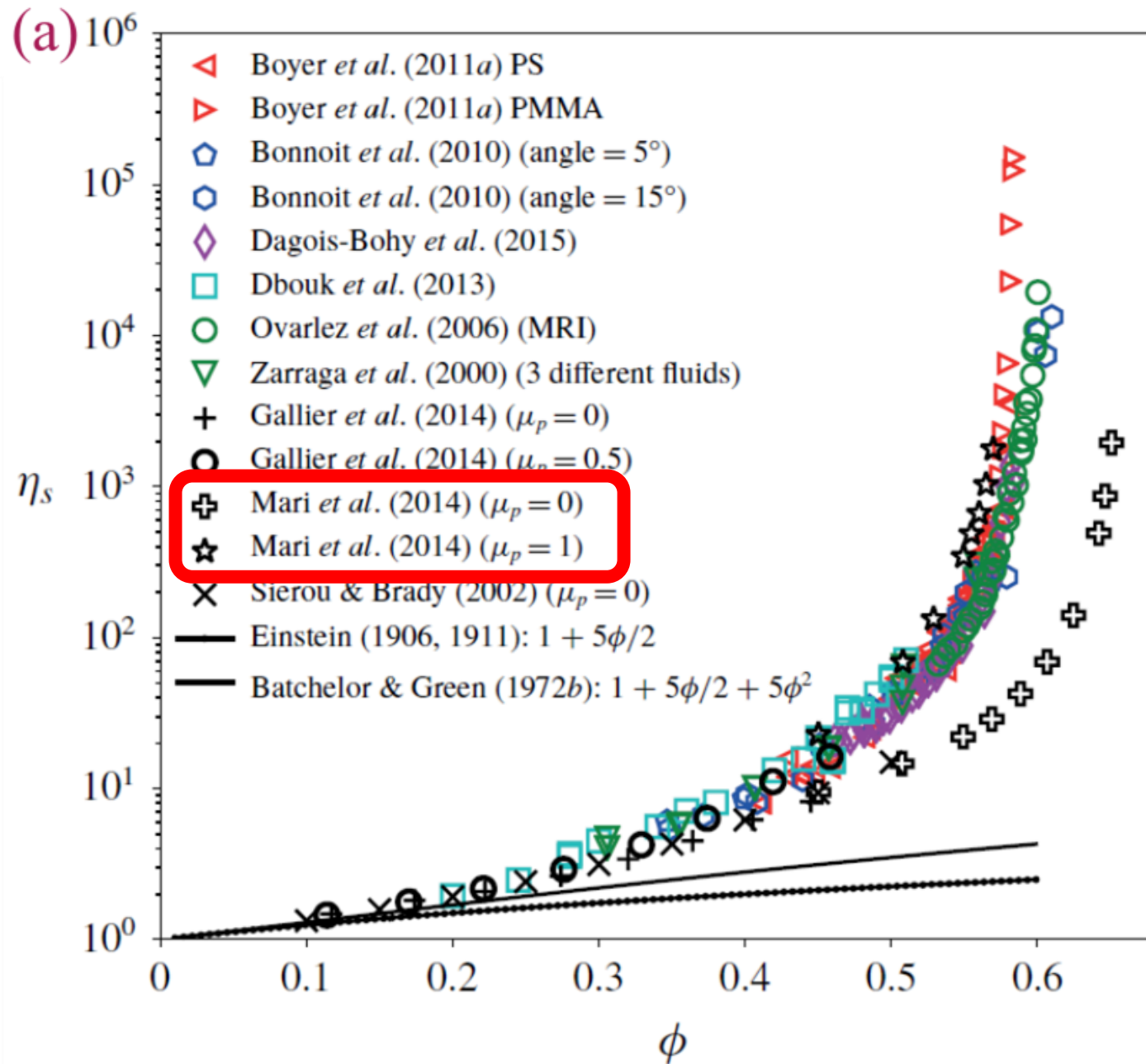
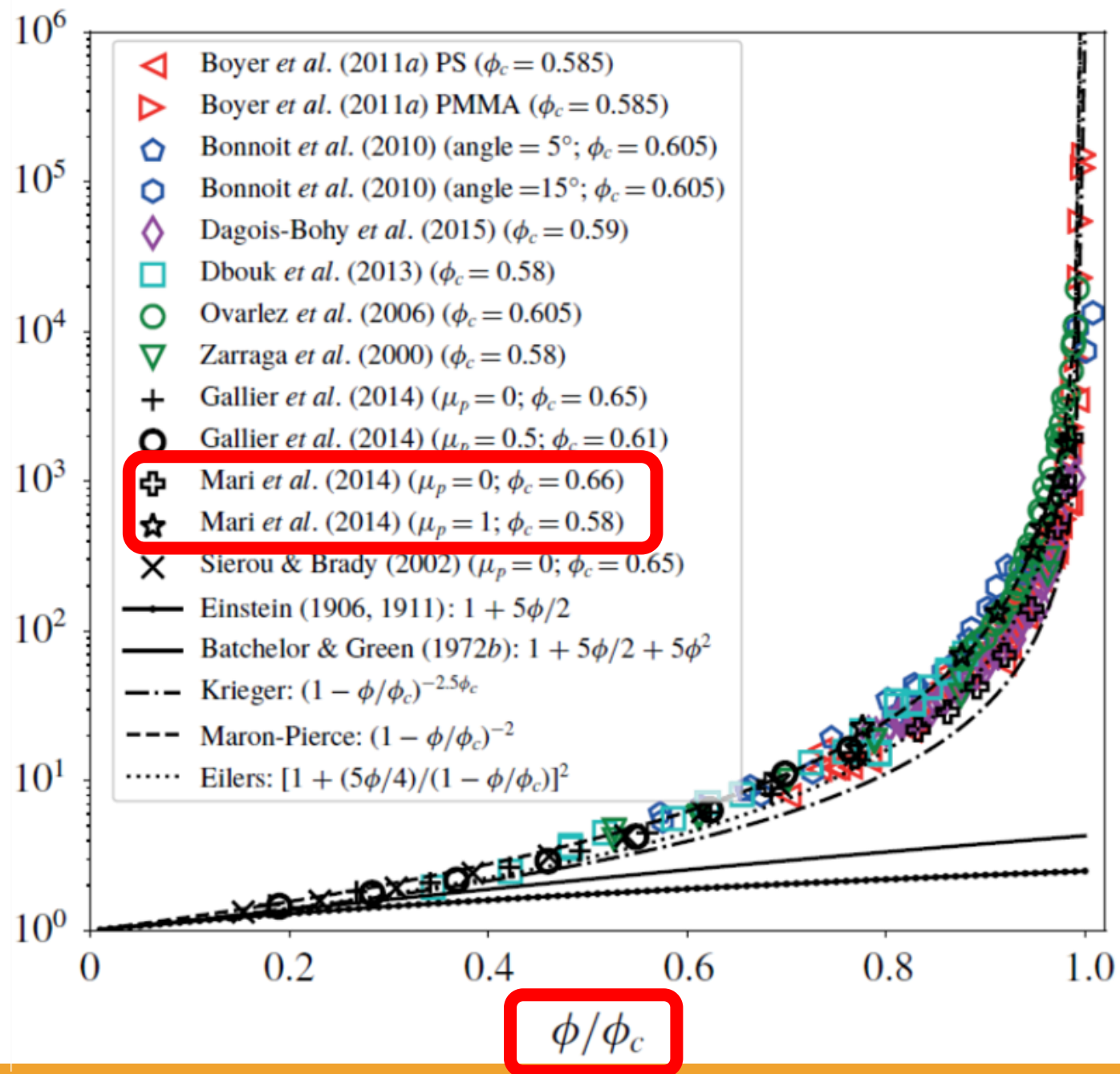
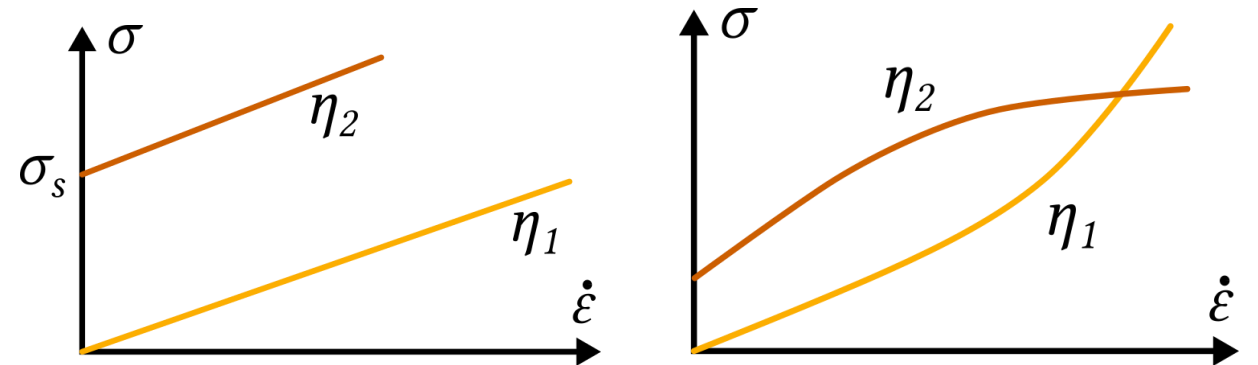
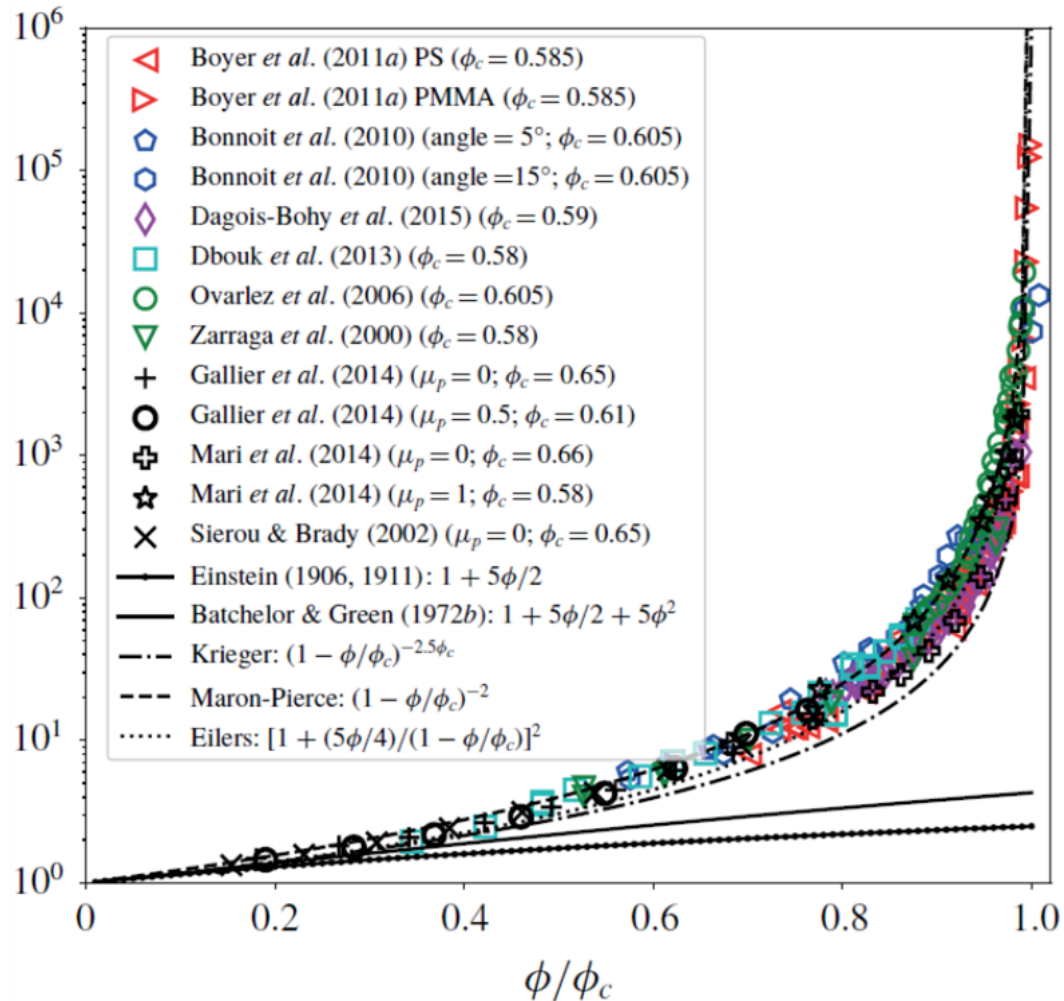
$\lim_{\phi \rightarrow \phi_c} \eta_s = +\infty$


Table 2.6: Relative viscosity of granular suspensions in different ϕ -regimes. We define $[\eta] = \lim_{\phi \rightarrow 0} \frac{\eta_s - 1}{\phi} = 2.5$ the intrinsic viscosity of the suspension.

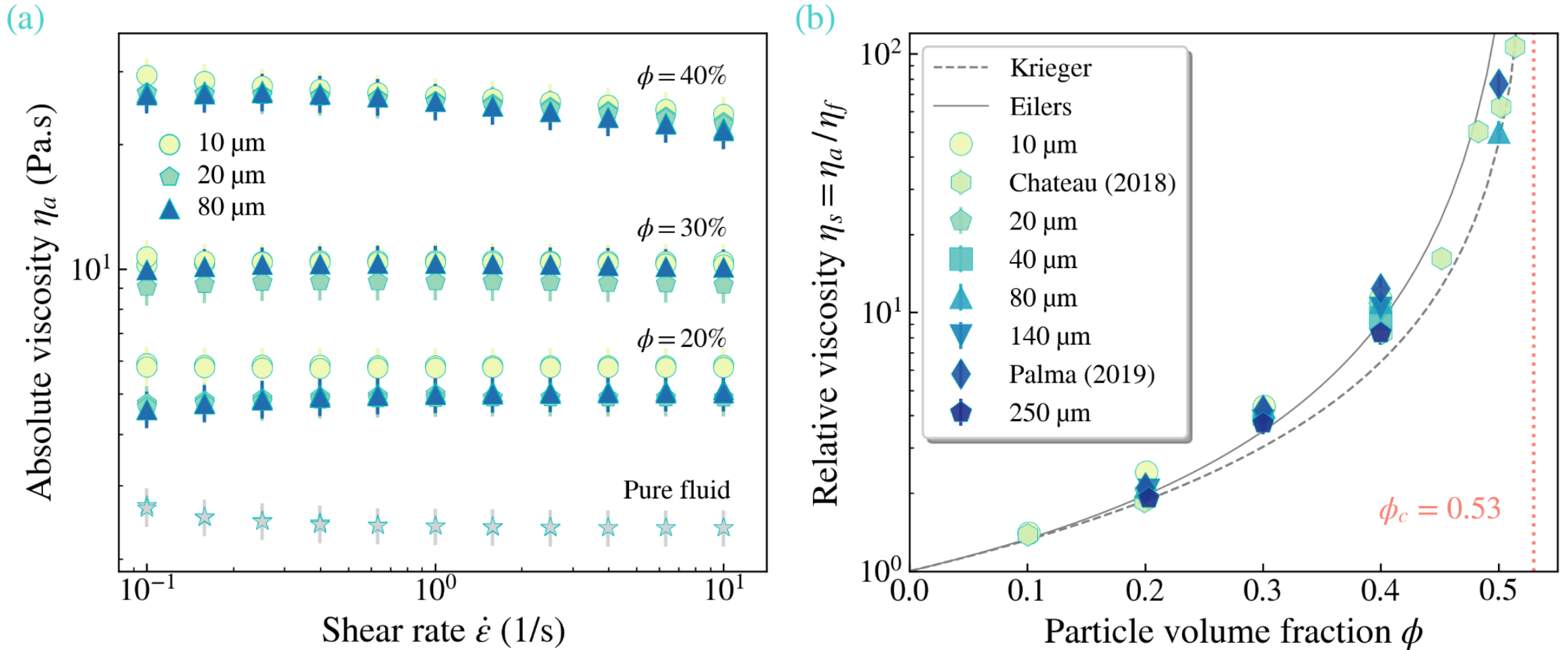




Taille des particules et taux de cisaillement



Taille des particules et taux de cisaillement



ÉCOULEMENTS CAPILLAIRES DE SUSPENSIONS GRANULAIRES

Écoulements capillaires

Tension de surface γ

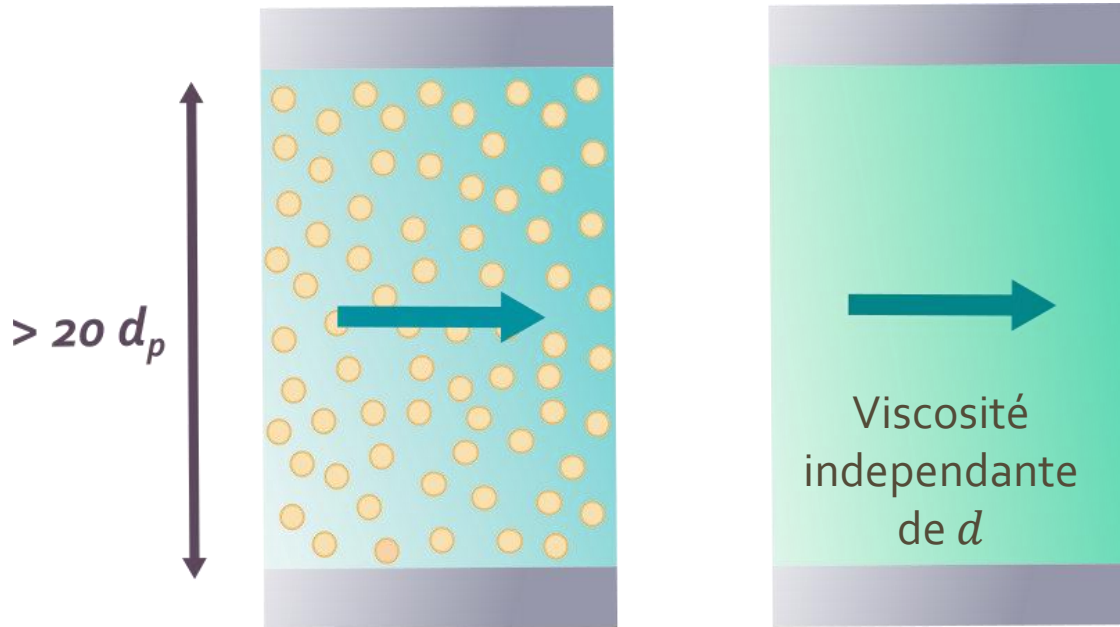
- Interface libre
- "Petit" \rightarrow Longueur capillaires

$$\ell_c = \sqrt{\frac{\gamma}{\rho g}} \sim 1 \text{ mm}$$

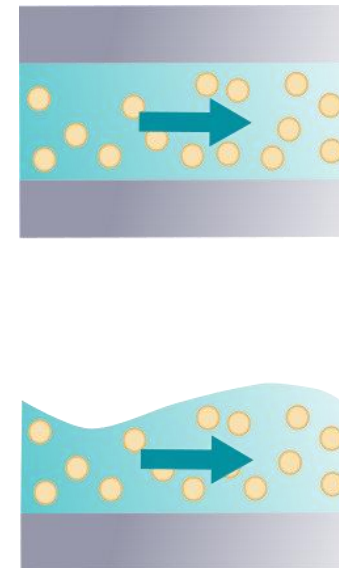


Confinement de suspensions granulaires

Suspension de volume ~ milieu continu



Confinement ~ Effets de taille finie des particules

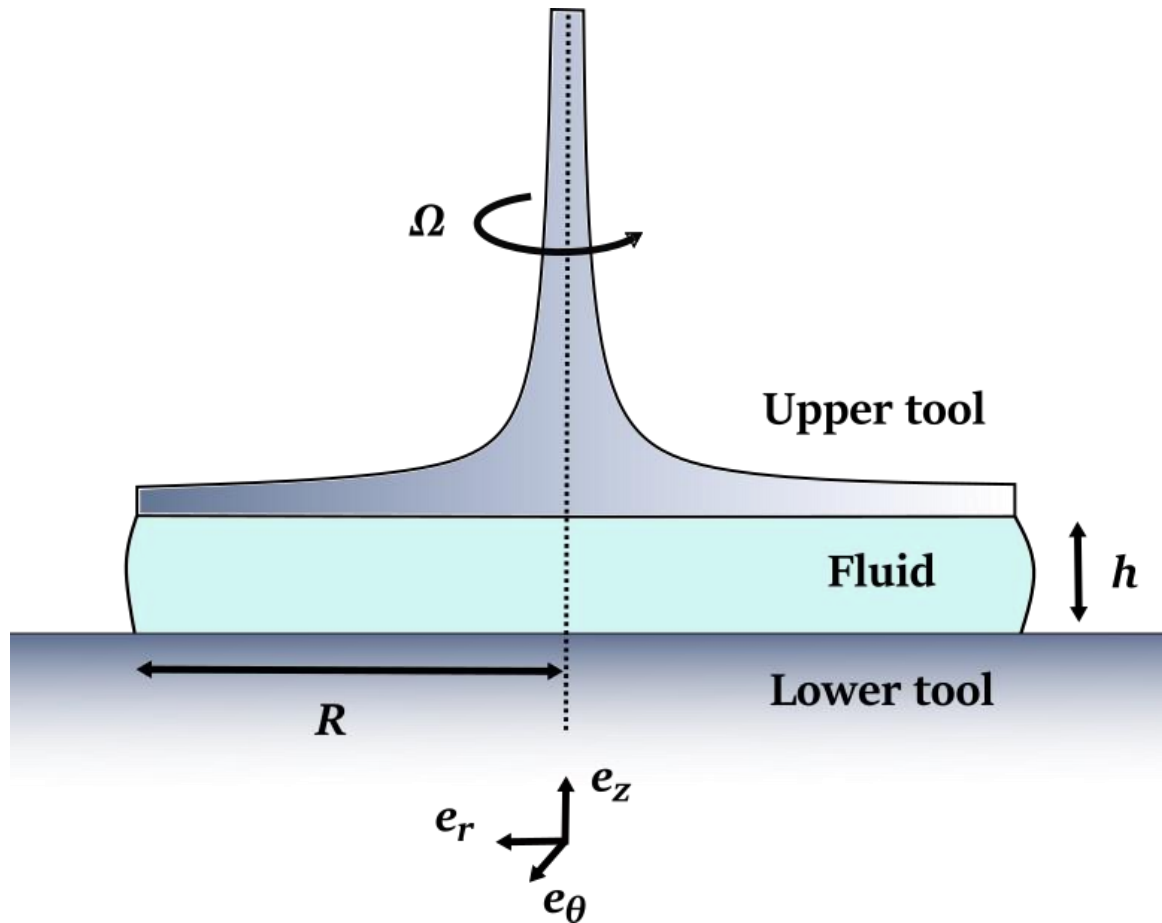


- Viscosity of confined suspensions?
- Interaction between particles and a free surface?
- Effect of the particles on surface instability?

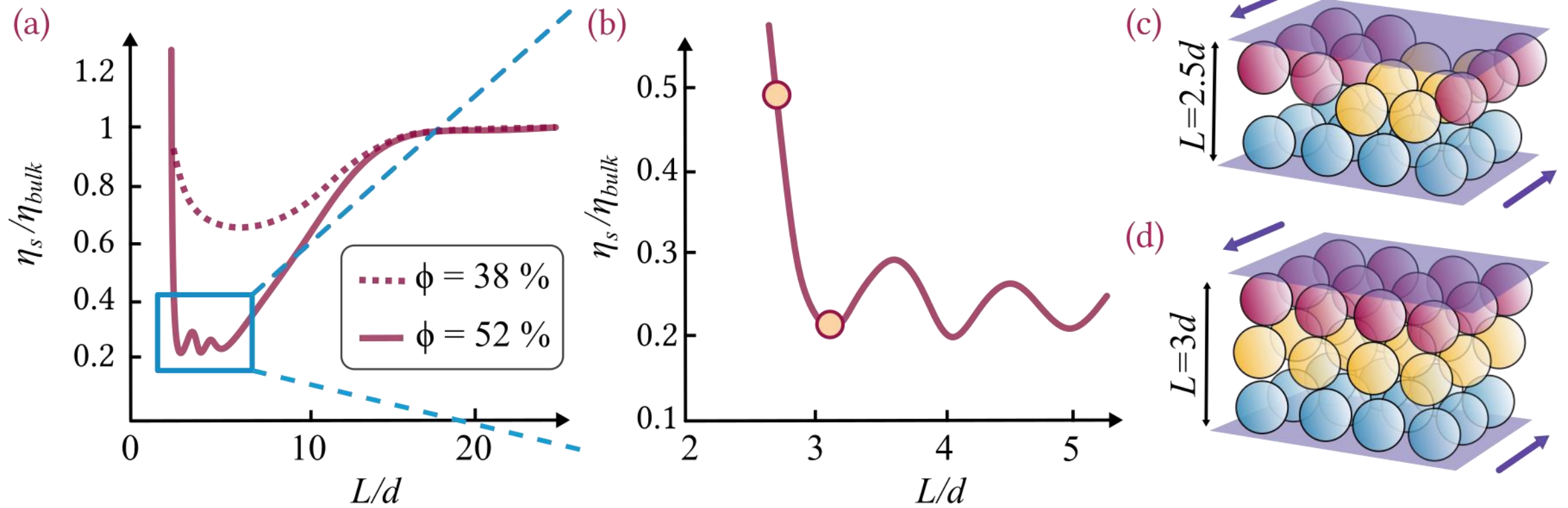
surface instability?

- Effect of the particles on

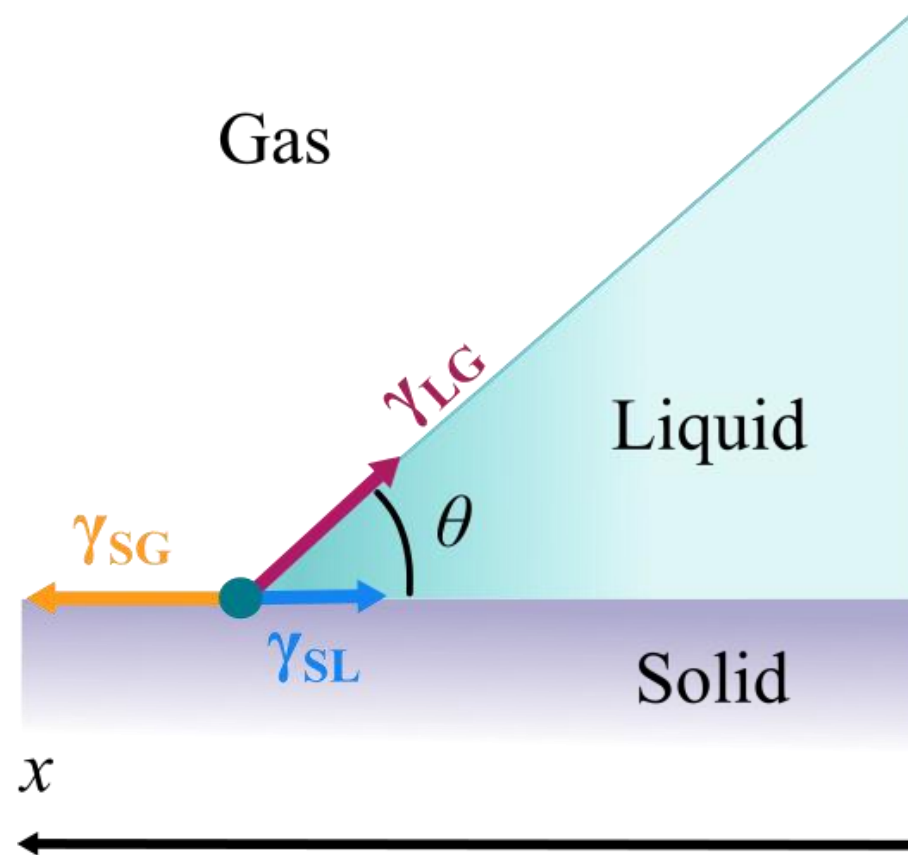
Mesure de viscosité confinée



Viscosité de suspension confinée

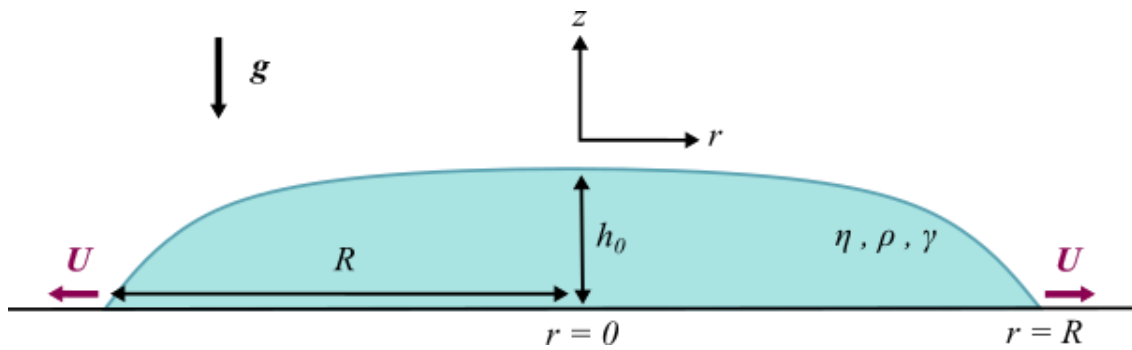


Mouillage d'un solide

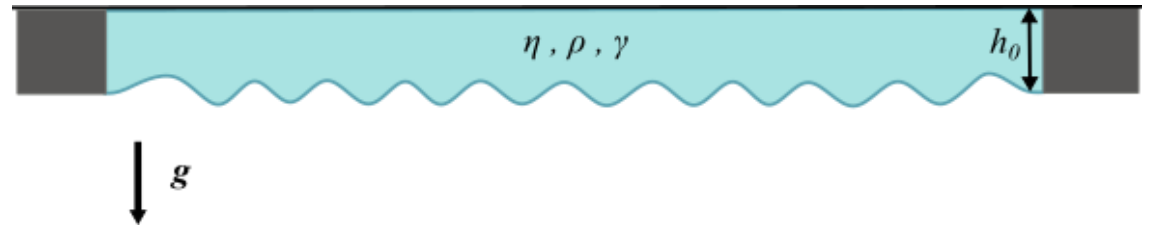


Projects

Drop spreading



Rayleigh-Taylor instability of thin films



Do particles affect drop spreading or the Rayleigh-Taylor instability?